
Chapitre n°1

Traitement Numérique du Signal

Aymeric Histace
Professeur des Universités
aymeric.histace@ensea.fr
aymeric.histace.free.fr



Plan du cours

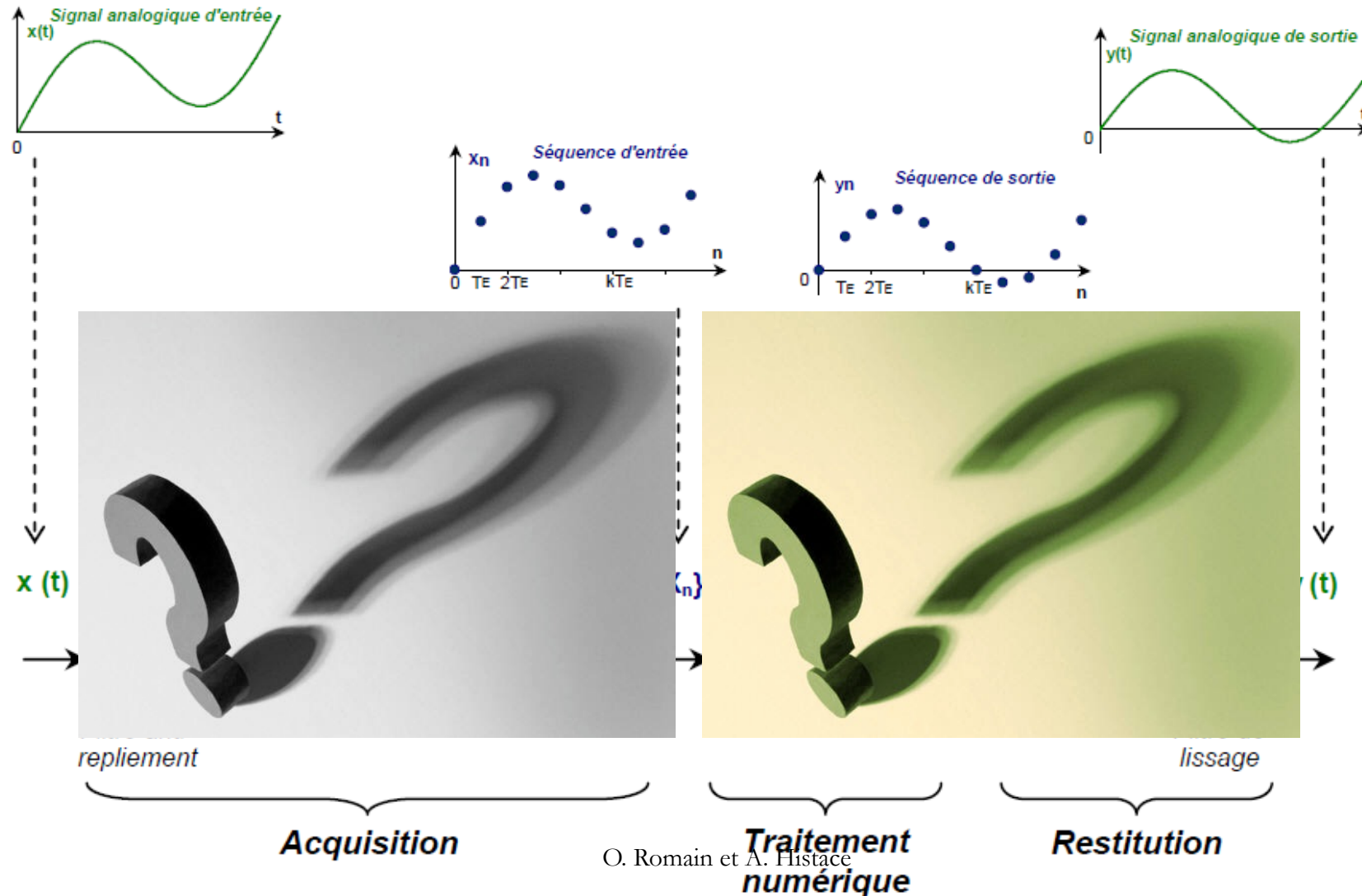
- Partie 1 : Classification des signaux et rappels mathématiques
- Partie 2 : Echantillonnage
- Partie 3 : Analyse spectrale des signaux échantillonnés
- Partie 4 : Filtrage numérique des signaux échantillonnés
- Partie 5 : Architecture des filtres RII et RIF
- Partie 6 : Outils de conception
- Conclusion Partie 1 du cours



Partie 1

Classification des signaux

Chaîne de traitement numérique du signal



Introduction

- Un signal est la représentation physique de l'information qu'il transporte. C'est un vecteur d'information
- Un signal est généralement la transposition électrique (courant ou tension) d'une grandeur mesurable (pression, onde acoustique, etc.)
- Le traitement du signal a pour principaux objectifs l'interprétation, l'extraction et l'élaboration des signaux

Introduction

- Le traitement du signal peut être analogique (continue) ou numérique (discret)
 - TS : Traitement du signal
 - signaux analogiques
 - TNS : Traitement Numérique du Signal
 - le signal analogique est converti en numérique
- Le traitement du signal nécessite de connaître a priori le signal à traiter pour dimensionner la chaîne de traitement

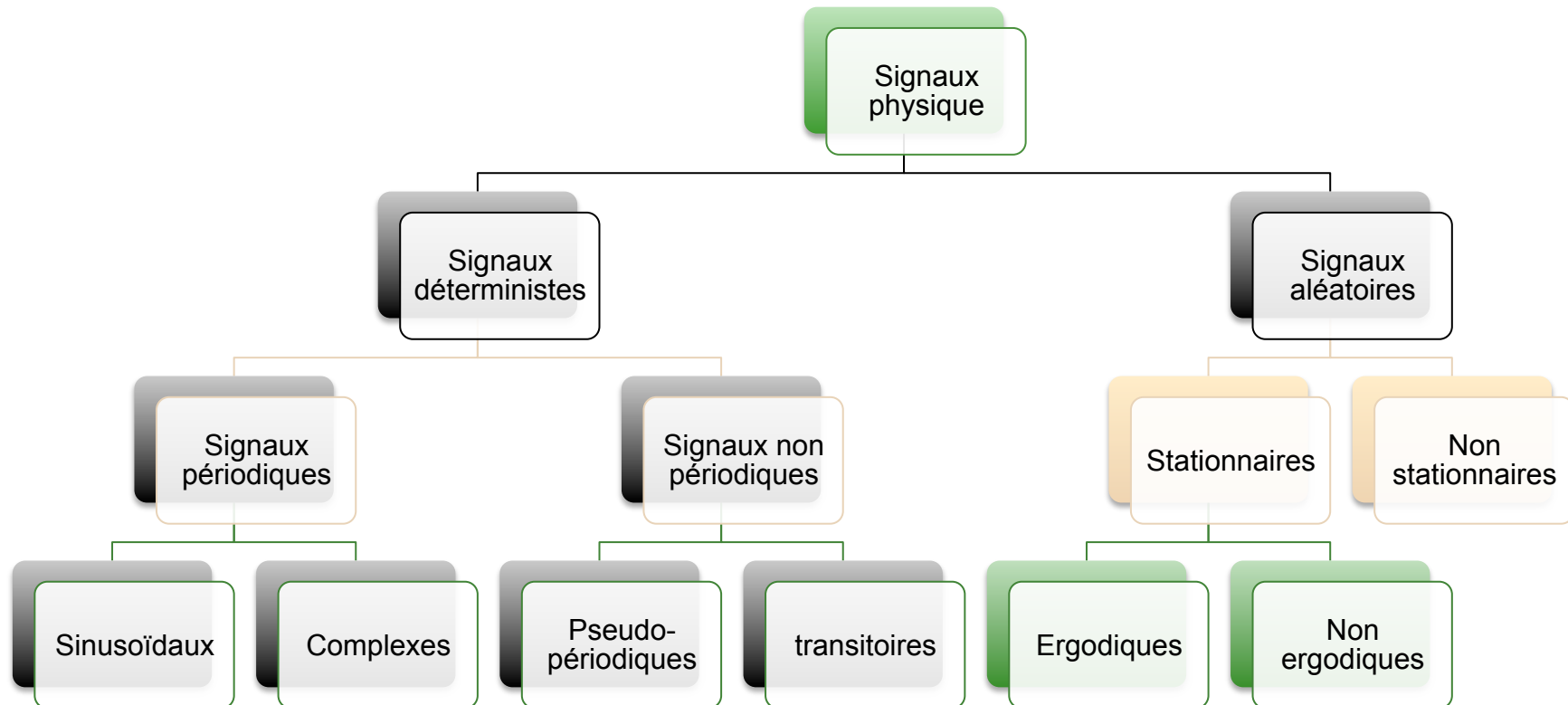
Propriété des signaux

- Les signaux sont représentés par des fonctions à valeurs réelles d'une variable réelle t .
- Un signal peut posséder les propriétés suivantes :
 - Energie bornée ou infinie
 - Stationnaire ou pas
 - Amplitude bornée ou non
 - Continu temporellement ou avec discontinuités
 - Causal ($e(t)=0$ pour $t<0$) ou non causal
 - Spectre bornée ou infinie
 - Valeurs réelles ou complexes
 - Déterministe ou probabiliste

Classification de signaux

- Il existe plusieurs façons de classer les signaux
 - Caractéristiques temporelles
 - Représentations fréquentielles
 - Caractéristiques énergétiques
 - Caractéristiques morphologiques (continues ou discrètes)

Classification de signaux / temporel



Classification spectrale

- Un signal peut être classé en fonction de la répartition de sa puissance en fréquence. Le domaine occupé par son spectre B est aussi appelé la largeur de bande du signal.

- Cette caractéristique en Hz est absolue
- $F_{moy} = (F_{max} - F_{min}) / 2$;

- Signaux à bandes étroites : $B / F_{moy} < 1$
- Signaux à larges bandes : $B / F_{moy} \gg 1$

Classification énergétique

- Energie d'un signal : $E(t_1, t_2) = \int_{t_1}^{t_2} s^2(t) dt$
- Puissance d'un signal : $P(t_1, t_2) = \frac{1}{t_2 - t_1} \int_{t_1}^{t_2} s^2(t) dt$
- 2 catégories
 - Signaux à énergie finie (signaux physiques)
 - Signaux à puissance moyenne finie (signaux périodiques ou quasi-périodiques)

Classifications des signaux

Temps

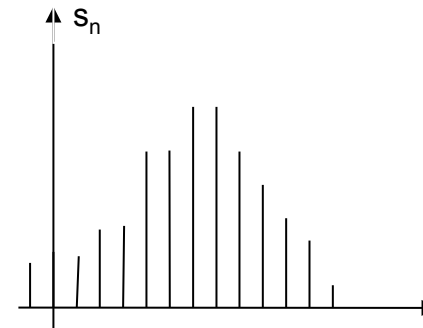
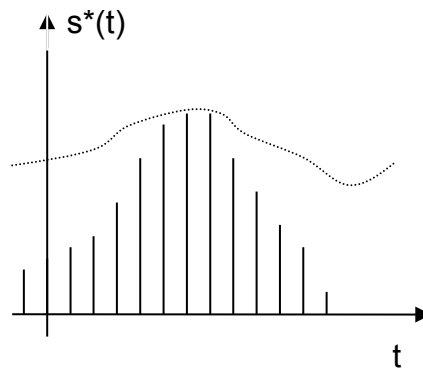
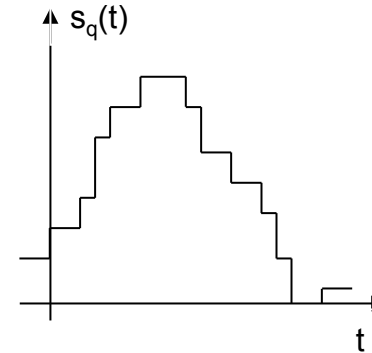
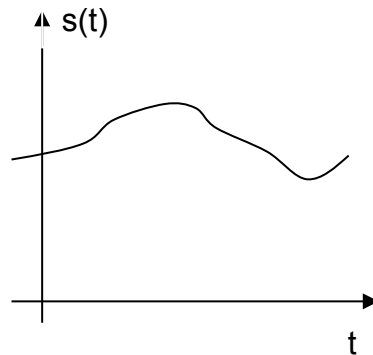
continu

discret

Amplitude

continu

discret



Signaux numériques

- Signal numérique $N(t=t_1)=(01110010)$, $N(t=t_2)=(01110111)$, ..., $N(t=t_3)=(01111000)$ est un signal doublement discrétisé
 - Discrétisation en amplitude : quantification
 - Représentation d'une valeur en binaire
 - Discrétisation en temps : échantillonnage
- **Définition** : On appelle numérisation d'un signal les opérations qui consistent à transformer un signal continu en un signal discrétisé temporellement et quantifié en amplitude

Rappels de mathématiques

Transformée de Fourier

- Transformation de Fourier des fonctions périodiques : série de Fourier
- Définition : Théorème de Fourier
 - Si $s(t)$ est une **fonction périodique**, de période T_0 , elle peut se décomposer sous la forme d'une somme de fonctions sinusoïdales de fréquences f multiple de la fréquence F_0 , dite fondamentale.

$$s(t) = a_0 + \sum_{n=1}^{\infty} [a_n \cdot \cos(2 \cdot \pi \cdot n \cdot F_0 \cdot t) + b_n \cdot \sin(2 \cdot \pi \cdot n \cdot F_0 \cdot t)]$$

- avec

$$a_0 = \frac{1}{T_0} \cdot \int_0^{T_0} s(t) \cdot dt \quad a_n = \frac{2}{T_0} \cdot \int_0^{T_0} s(t) \cdot \cos(2 \cdot \pi \cdot F_0 \cdot t) dt \quad b_n = \frac{2}{T_0} \cdot \int_0^{T_0} s(t) \cdot \sin(2 \cdot \pi \cdot F_0 \cdot t) dt$$

Série de Fourier

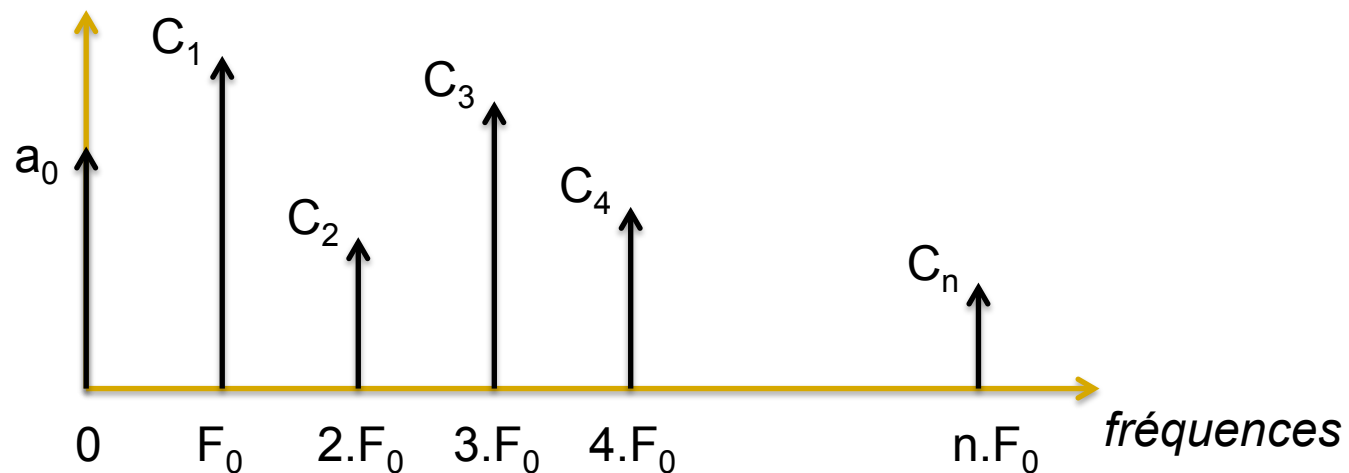
- Autre représentation :

$$s(t) = a_0 + \sum_{n=1}^{\infty} \left[C_n \cdot \cos(2 \cdot \pi \cdot n \cdot F_0 \cdot t + \varphi_n) \right]$$

$$C_n = \sqrt{a_n^2 + b_n^2}$$

$$\varphi_n = \arctan\left(-\frac{b_n}{a_n}\right)$$

- Représentation spectrale

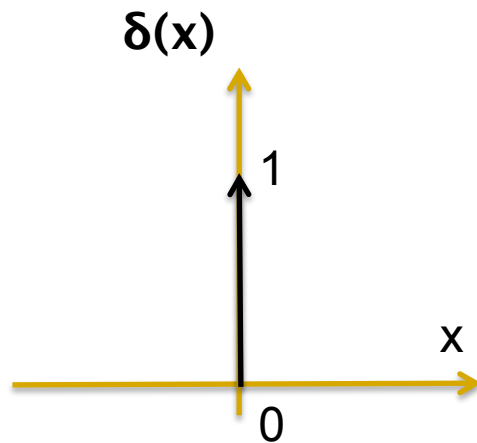


Remarques

- Signaux périodiques
 - Bande occupée : infinie
 - Spectre discret de raies aux fréquences multiple du fondamental
 - Signaux à énergie infinie mais puissance moyenne finie
 - Identité de Parseval

Impulsion de Dirac

- L'impulsion de Dirac est un signal au sens des distributions



$$\int_{-\infty}^{+\infty} \delta(x) dx = 1$$

Transformée de Fourier

Cas des signaux non périodiques

■ Définition de TF :

- La Transformée de Fourier TF d'un signal non périodiques est définie par :

$$x(t) \xrightarrow{TF} X(f) \quad X(f) = \int_{-\infty}^{+\infty} x(t) \cdot e^{-j \cdot 2 \cdot \pi \cdot f \cdot t} dt$$

■ Définition de TF⁻¹ :

- La Transformée de Fourier inverse TF⁻¹ d'un spectre est définie par :

$$x(t) = \int_{-\infty}^{+\infty} X(f) \cdot e^{j \cdot 2 \cdot \pi \cdot f \cdot t} df \quad x(t) \xleftarrow{TF^{-1}} X(f)$$

■ Conditions d'existence de TF:

- Un signal $x(t)$ admet une TF si :
 - $x(t)$ est une fonction bornée
 - L'intégrale de $x(t)$ entre $-\infty$ et $+\infty$ ait une valeur finie
 - $x(t)$ soit une fonction de carré sommable

Propriétés de la TF

- Linéarité

$$x(t) = a.y(t) + b.z(t) \xrightarrow{TF} X(f) = a.Y(f) + b.Z(f)$$

- Homothétie

$$x(a.t) \xleftrightarrow{TF} \frac{1}{|a|} X\left(\frac{f}{a}\right)$$

- Translation ou retard

$$x(t - a) \xleftrightarrow{TF} X(f).e^{-j2.\pi.a.f}$$

$$x(t)..e^{j2.\pi.f_0.t} \xleftrightarrow{TF^{-1}} X(f - f_0)$$

Propriétés de la TF

- Dérivation 1^{er} ordre

$$\frac{dx(t)}{dt} \xrightarrow{TF} (j.2.\pi.f).X(f)$$

- Dérivation ordre n

$$\frac{d^n x(t)}{dt^n} \xrightarrow{TF} (j.2.\pi.f)^n .X(f)$$

- Multiplication

$$y(t) = x(t).h(t) \begin{array}{c} \xrightarrow{TF} \\ \xleftarrow{TF^{-1}} \end{array} Y(f) = X(f) * H(f)$$

- Convolution

$$y(t) = x(t) * h(t) \begin{array}{c} \xrightarrow{TF} \\ \xleftarrow{TF^{-1}} \end{array} Y(f) = X(f).H(f)$$

Matlab

- Outils de simulation Mathématique
 - Comme Maple ou Mathematica
 - Spécialisé dans le calcul matriciel
 - Basé sur des bibliothèques spécialisées (TS, finance, RF, etc.)
- Différents outils inclus
 - Simulink
 - Passerelle vers des cibles de traitement (DSP, FPGA, etc.)
 - Passerelle vers du langage C
- Option Systèmes Embarqués
 - Outil de conception et de test rapide des filtres numériques

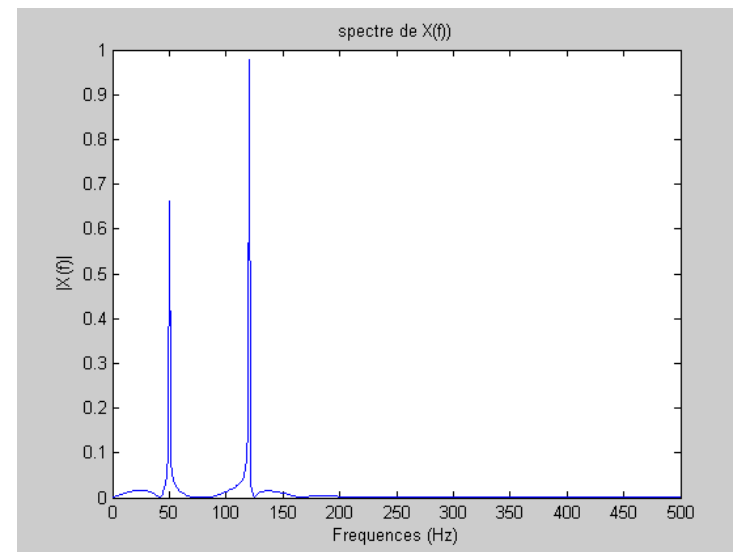
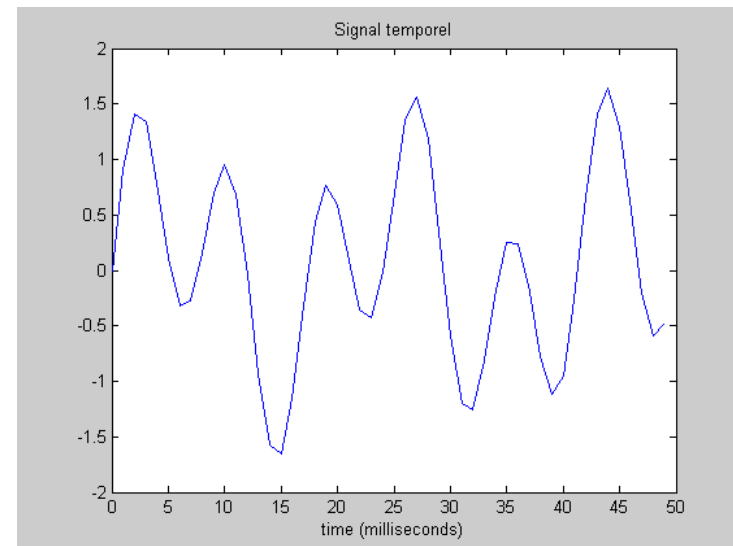
Matlab

Exemple de TF

```
clear all;
close all;
clc;
Fs = 1000;
T = 1/Fs;
L = 1000;
t = (0:L-1)*T;
% Somme de deux sinusoides de fréquence 50 et 120 Hz
x = 0.7*sin(2*pi*50*t) + sin(2*pi*120*t);
% Analyse temporelle
plot(Fs*t(1:50),x(1:50))
title('Signal temporel')
xlabel('time (milliseconds)')

%Analyse spectrale
NFFT = 2^nextpow2(L); % Next power of 2 from length of y
Y = fft(x,NFFT)/L;
f = Fs/2*linspace(0,1,NFFT/2+1);

figure
plot(f,2*abs(Y(1:NFFT/2+1)))
title('spectre de X(f)')
xlabel('Frequencies (Hz)')
ylabel('|X(f)|')
```

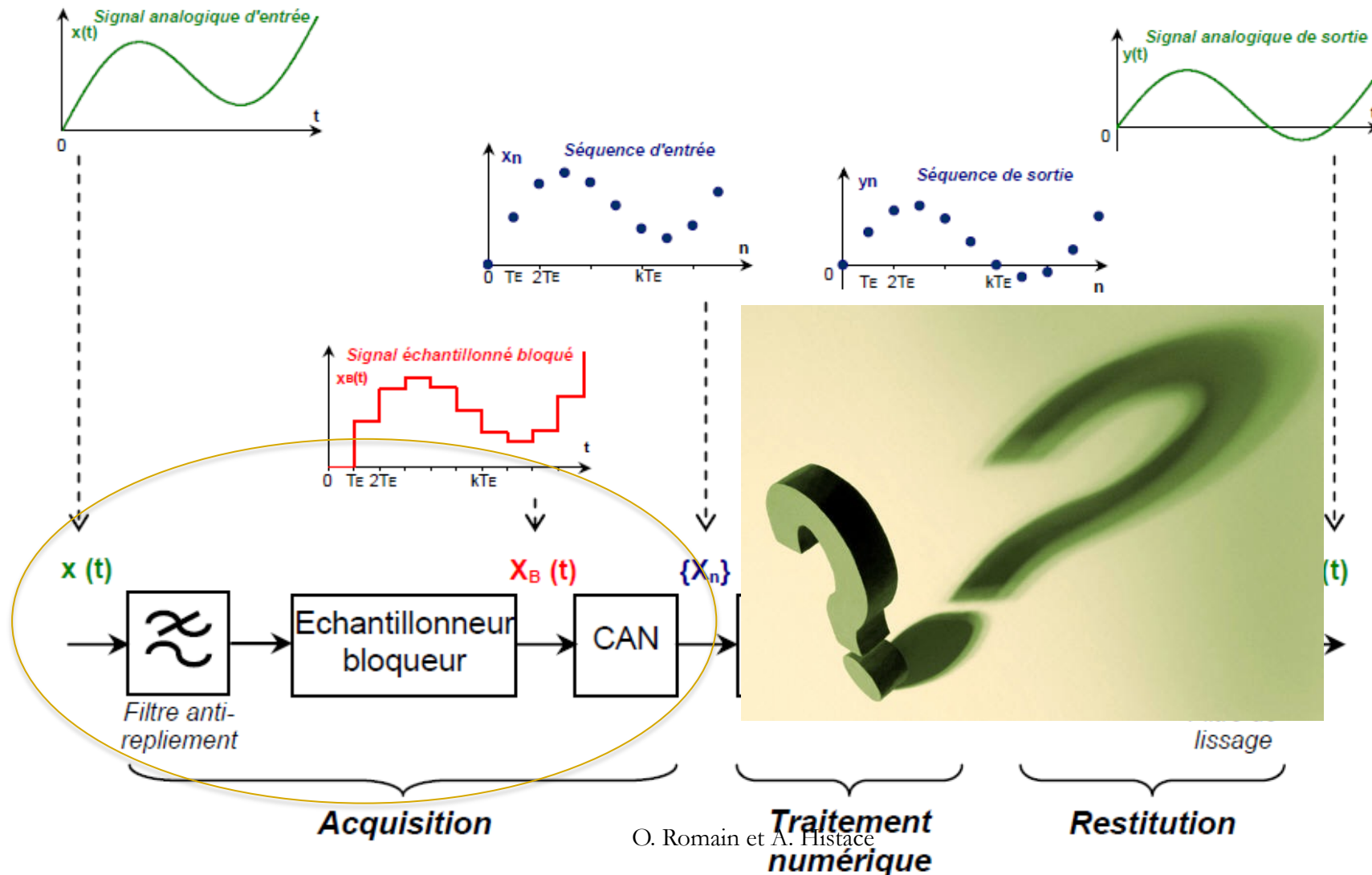




Partie 2

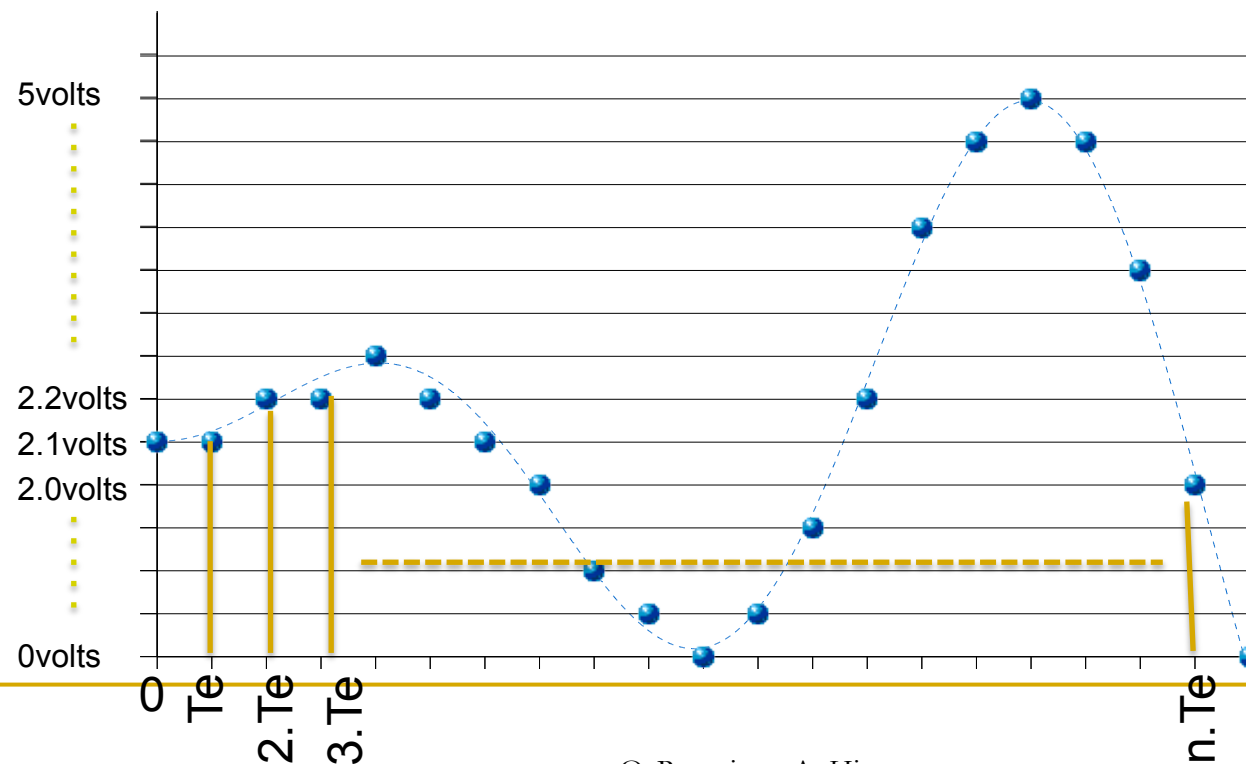
Echantillonnage

Chaîne de traitement numérique du signal



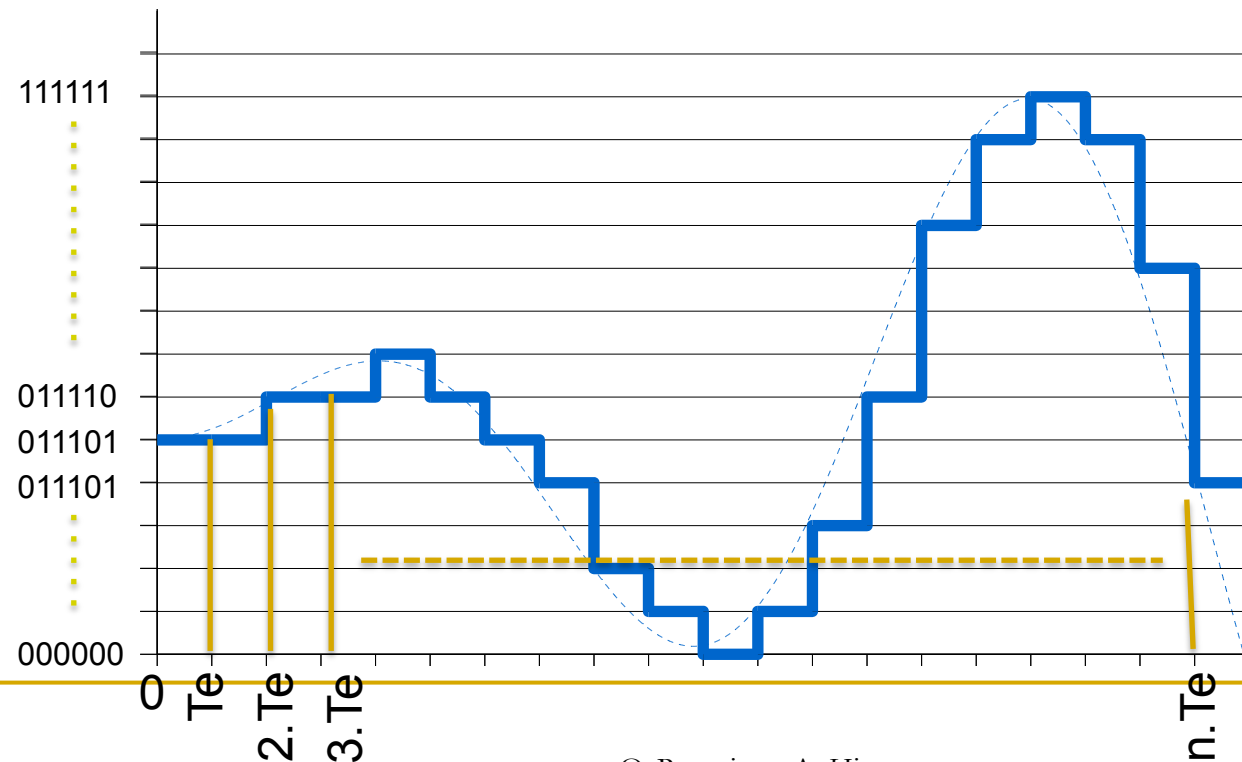
Echantillonnage / sampling

- L'échantillonnage consiste à représenter un signal analogique continu $s(t)$ par un ensemble de valeurs discrètes $s(nT_e)$ avec n entier et T_e constant appelé **période d'échantillonnage**

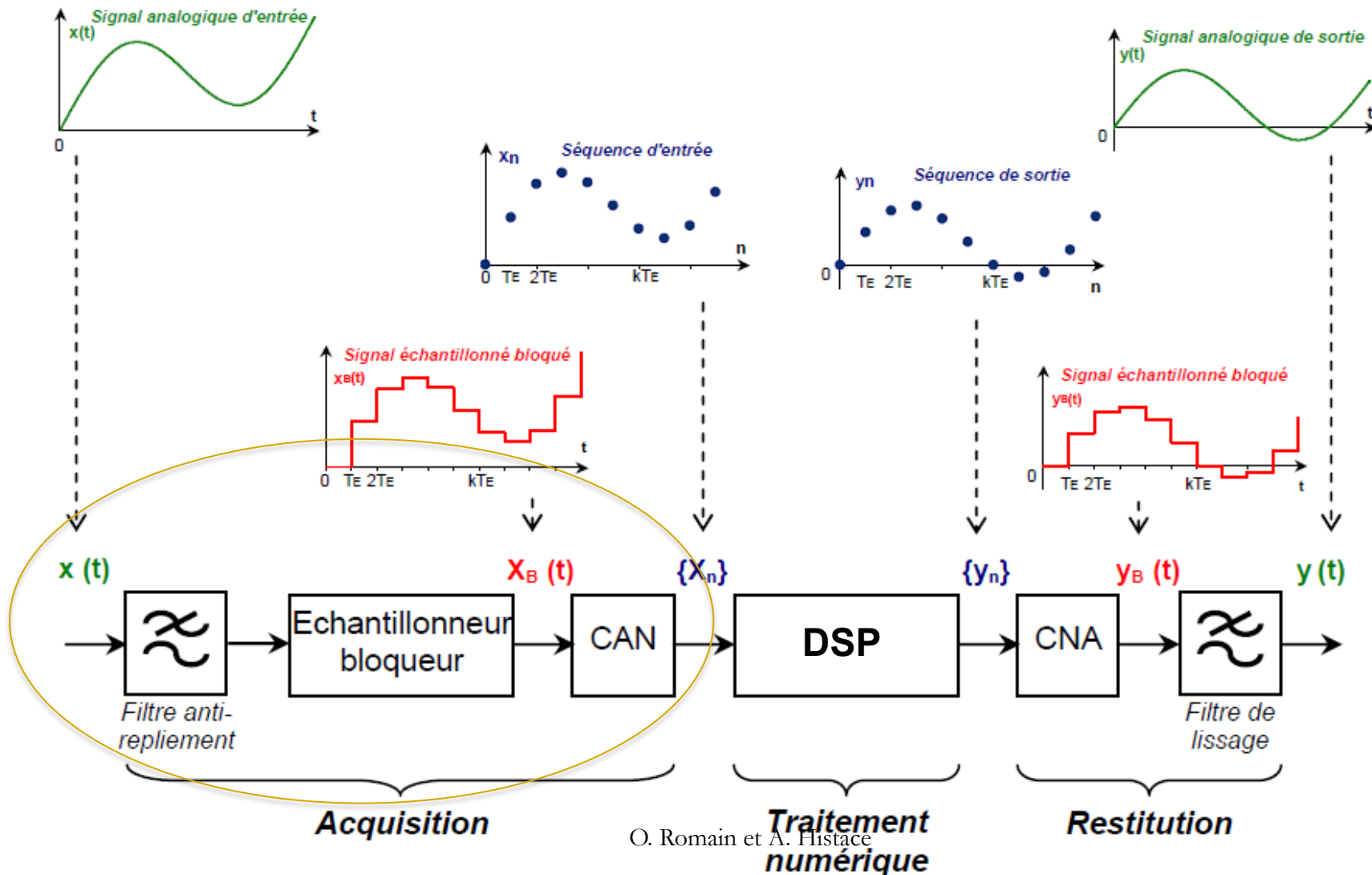


Echantillonnage / numérisation

- La numérisation d'un signal consiste en l'échantillonnage et la quantification des amplitudes du signal échantillonné. Le signal numérisé est discrétisé en temps et en amplitude. Il correspond à un signal numérique (binaire) qui évolue au rythme de T_e .



Chaîne de traitement numérique du signal

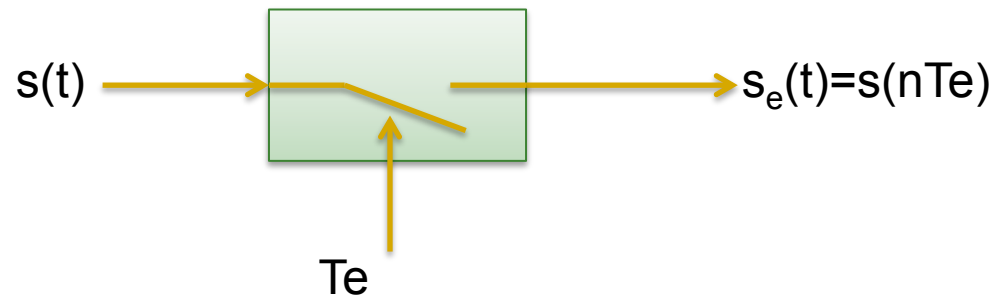


Echantillonnage idéal

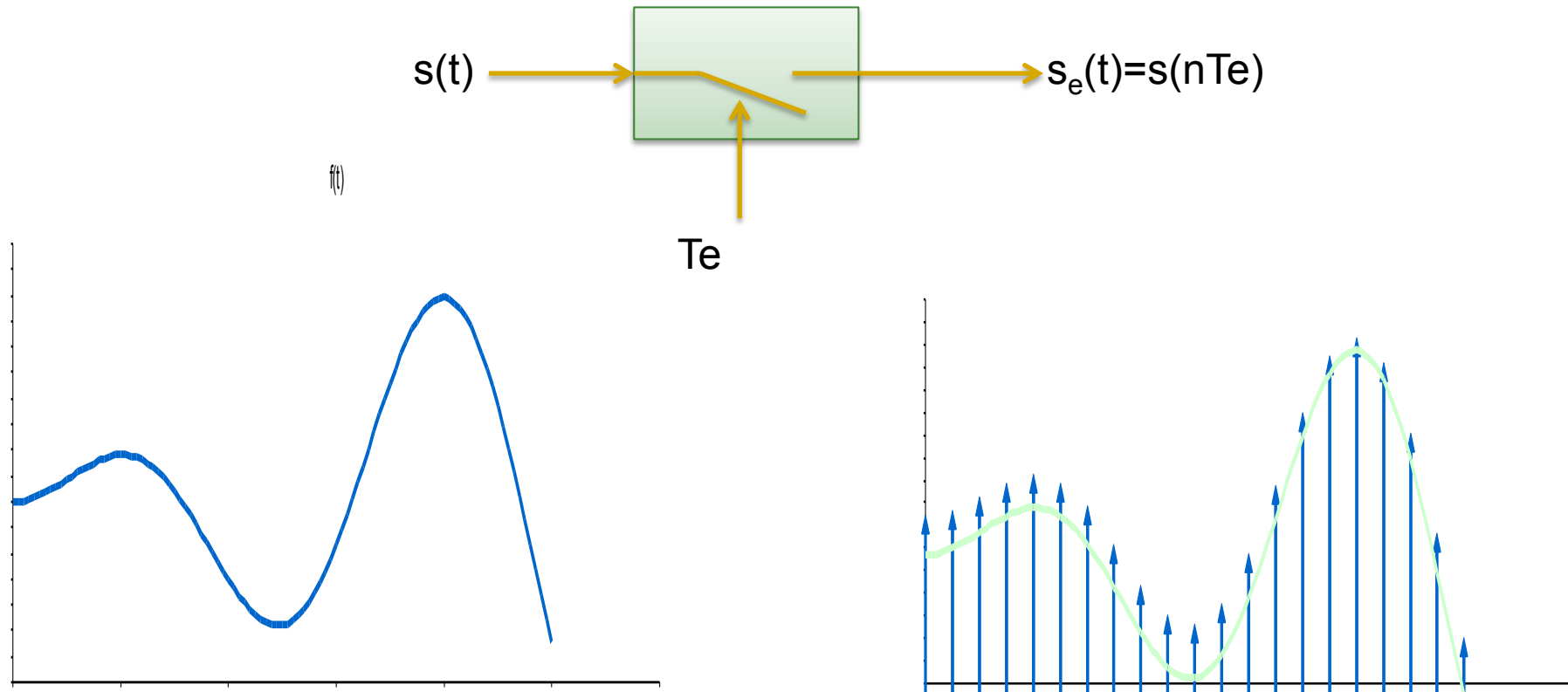
■ Définition :

- On suppose que le signal $s(t)$ a un spectre à support borné, c'est à dire que le spectre de $S(f)$ est limité ($S(f) = 0$ pour $f > f_{\max}$). Cette limitation est soit naturelle, soit artificielle par l'utilisation d'un filtre qui réduit l'encombrement spectrale.
- L'échantillonnage correspond à l'opération de prélevé à période constante l'amplitude du signal d'entrée.

Échantillonneur idéal = interrupteur



Echantillonnage idéal



Echantillonnage idéal

- Définition :

- Le signal échantillonné correspond à multiplier le signal d'entrée par un peigne de dirac

$$s_e(t) = s(t) \cdot \sum_{k=-\infty}^{+\infty} \delta(t - kT_e)$$

- Définition :

- Un peigne de dirac est : $Pgn_{T_e}(t) = \sum_{k=-\infty}^{+\infty} \delta(t - kT_e)$

- La transformée de Fourier du peigne de dirac est :

$$Pgn_{T_e}(t) \xrightarrow{TF} \frac{1}{T_e} \cdot \sum_{k=-\infty}^{+\infty} \delta\left(f - \frac{k}{T_e}\right)$$

Echantillonnage idéal / analyse spectrale

- Quel est le spectre du signal échantillonné ?

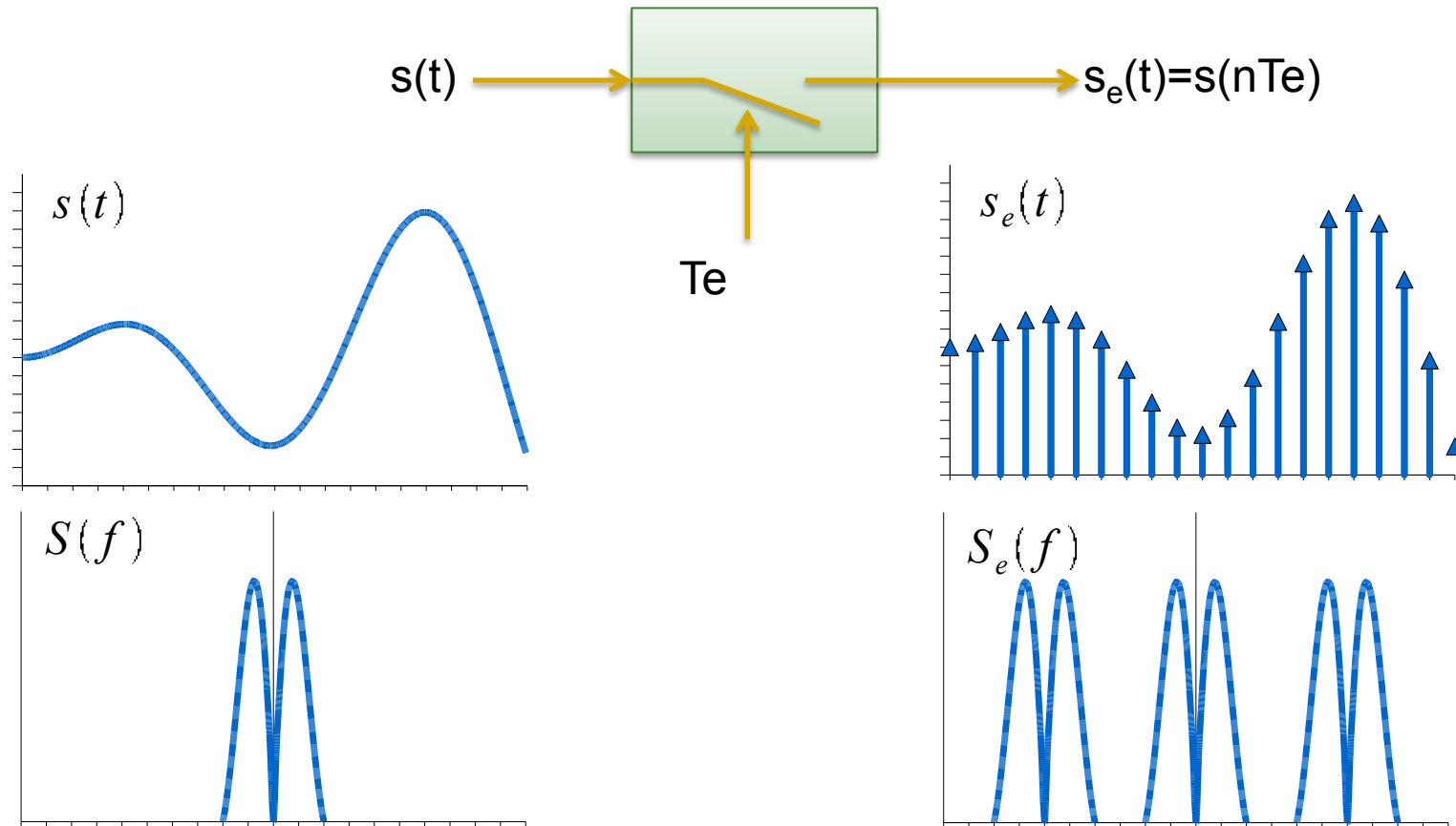

$$s_e(t) = s(t) \cdot \sum_{k=-\infty}^{+\infty} \delta(t - kT_e) = s(t) \cdot \text{Pgn}_{T_e}(t)$$
$$S_e(f) = TF(s(t)) * TF(\text{Pgn}_{T_e}(t)) = S(f) * \frac{1}{T_e} \sum_{k=-\infty}^{+\infty} \delta(f - k.f_e)$$

$$S_e(f) = S(f) * \frac{1}{T_e} \sum_{k=-\infty}^{+\infty} \delta(f - k.f_e) = \frac{1}{T_e} \sum_{k=-\infty}^{+\infty} S(f - k.f_e)$$

- Définition

- Le spectre d'un signal échantillonné correspond à la périodisation du spectre du signal d'entrée

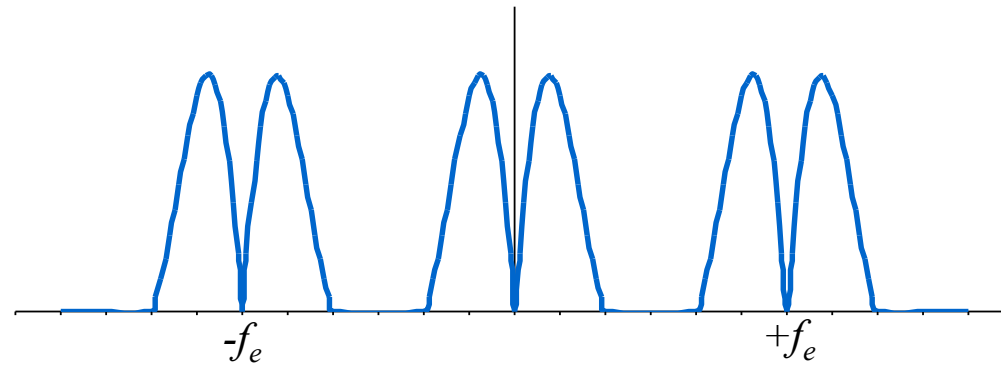
Echantillonnage idéal



Périodisation du spectre

Echantillonnage idéal

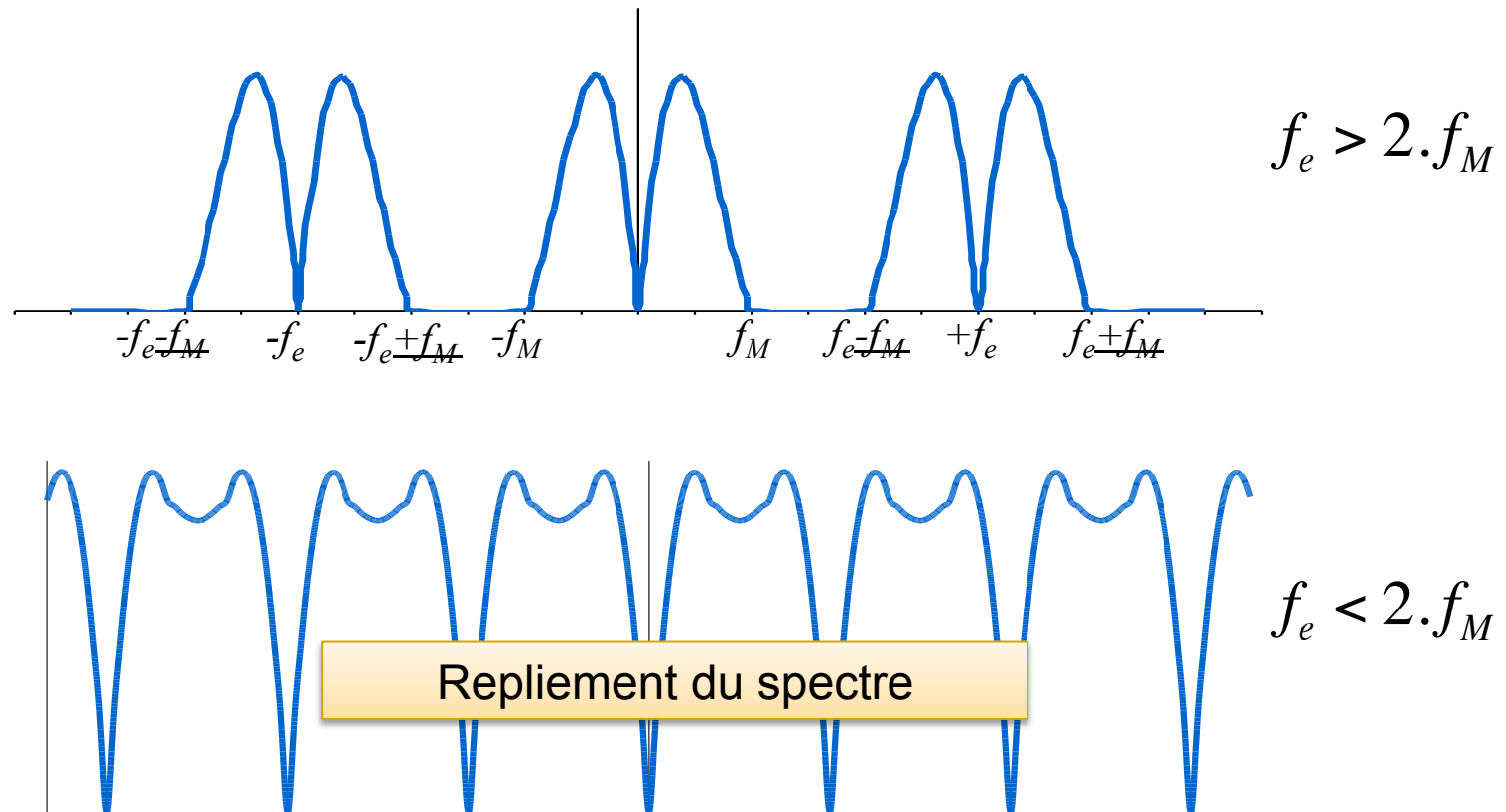
- Remarque :
 - Le spectre du signal d'entrée est borné
 - Le spectre d'un signal échantillonné est infinie



$$S_e(f) = f_e \cdot \sum_{n=-\infty}^{+\infty} S(f - f_e)$$

Echantillonnage idéal/ f_e ?

- Comment choisir la fréquence d'échantillonnage f_e ?



Echantillonnage / f_e ?

- Fréquence d'échantillonnage trop basse, le spectre du signal échantillonné est replié sur lui même
- Théorème de Shannon ou Nyquist:
 - La fréquence d'échantillonnage doit être 2 fois supérieure à la bande B occupée par le signal original

$$f_e \geq 2.B$$

- $f_e=2.B$ représente la fréquence critique d'échantillonnage ou Nyquist
 - Si $f_e > B \Leftrightarrow$ sur-échantillonnage
 - Si $f_e < B \Leftrightarrow$ sous-échantillonnage
- Si les conditions sur la fréquence ne sont pas respectées, le spectre du signal échantillonné sera replié.

Exemple : choix de T_e

$$s(t) = \sin(2\pi f_0 t)$$

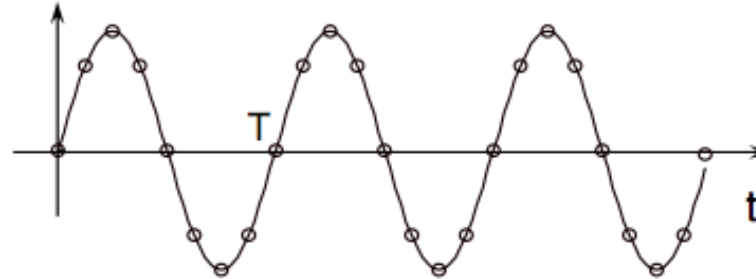
Considérons 3 choix de période d'échantillonnage T_e

1er choix :

$$T = \frac{1}{f_0}$$

$$T_e = \frac{T}{8}$$

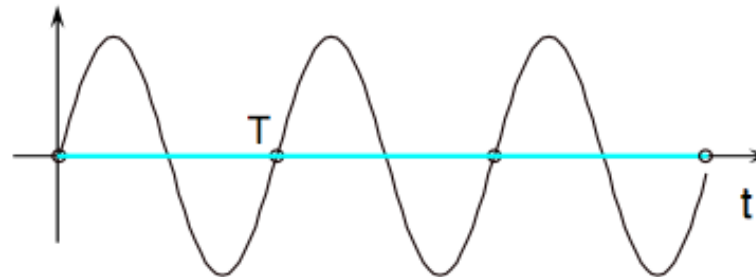
$$f_e = 8 f_0$$



2ème choix :

$$T_e = T$$

$$f_e = f_0$$



3ème choix :

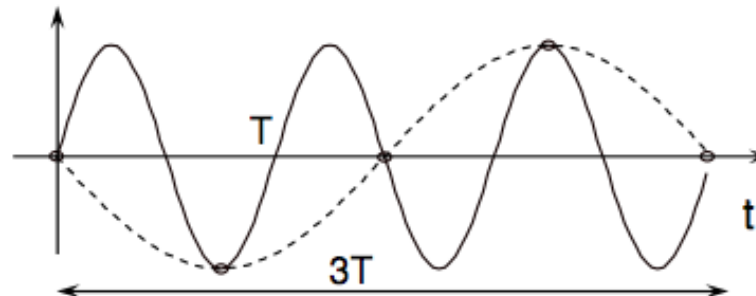
$$T_e = \frac{3}{4} T$$

$$f_e = \frac{4}{3} f_0$$



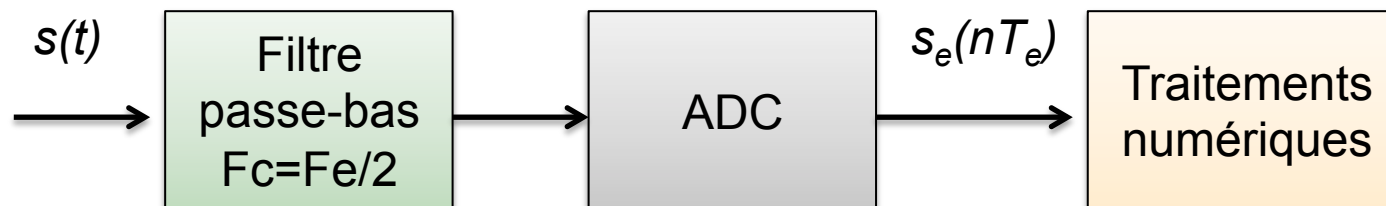
Repliement spectral

$$f = f_e - f_0 = \frac{1}{3} f_0$$



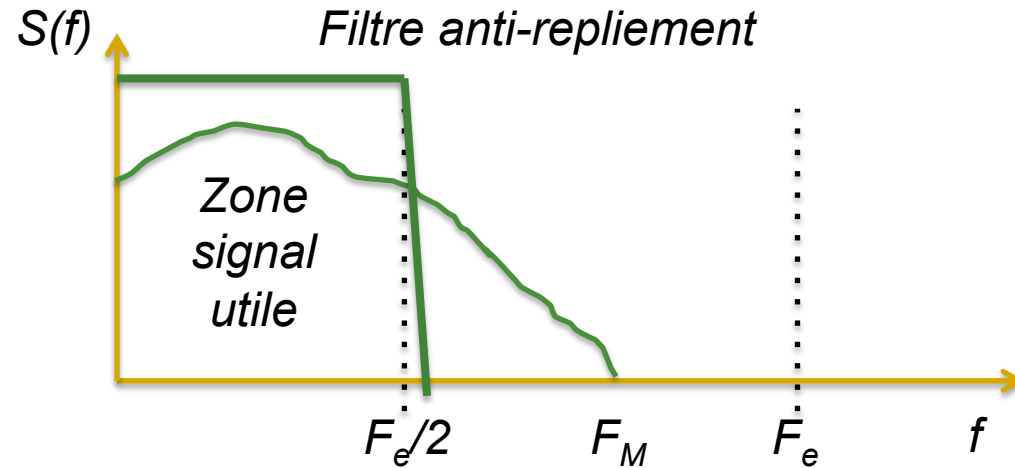
Filtre anti-repliement

- Pour éviter les répliques indésirables dues au repliement, il est indispensable que le spectre du signal d'entrée ne dépasse pas la fréquence de Nyquist : $F_e/2$
- Si le signal d'entrée a un spectre dont les fréquences sont supérieures à la fréquence de Nyquist, un filtre analogique avant le CAN doit être utilisé pour limiter la bande de $s(t)$

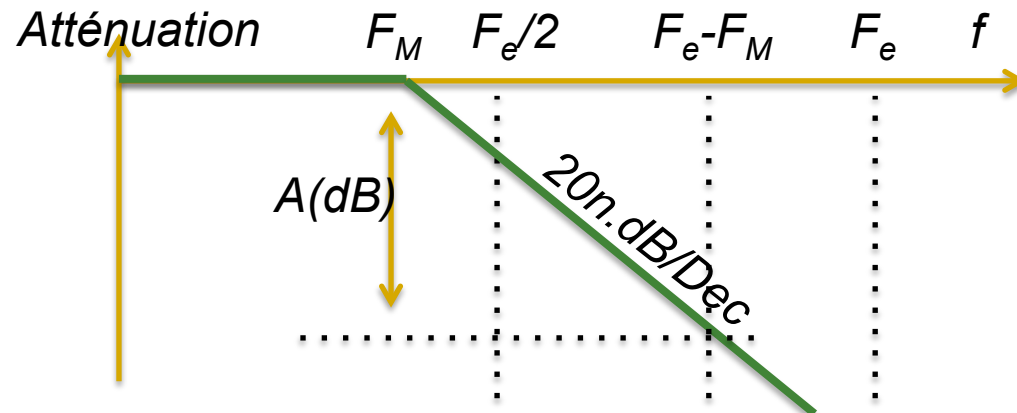


Filtre anti-repliement

- Filtre théorique :
 - Pente infinie à $F_e/2$



- Filtre pratique :
 - Atténuation de A dB à $F_e - F_M$
 - Pente du filtre nécessaire



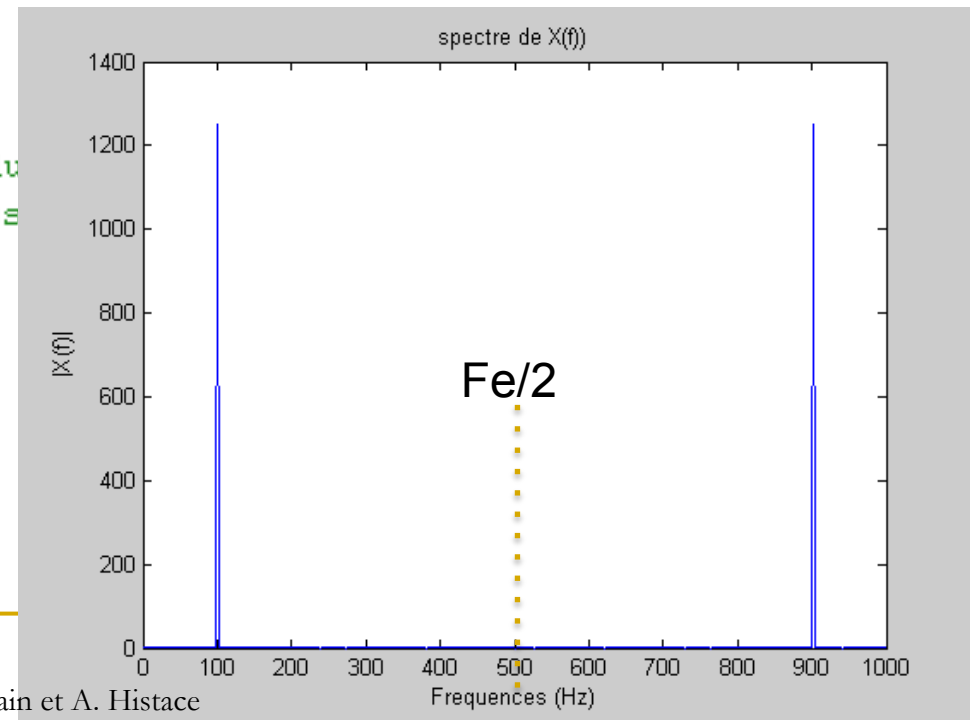
Matlab : exemple

```
clear all;
close all;
clc;
Fs = 1000; %fréquence d'échantillonnage
Ts = 1/Fs; %période d'échantillonnage
L = 50*(Fs/100); %longueur de la séquence (50 périodes du signal)
t = Ts*(0:L-1); %vecteur temporel

% Signal d'entrée : sinusoïde de fréquence 100 Hz et d'amplitude 5volts
x = 5*sin(2*pi*100*t);

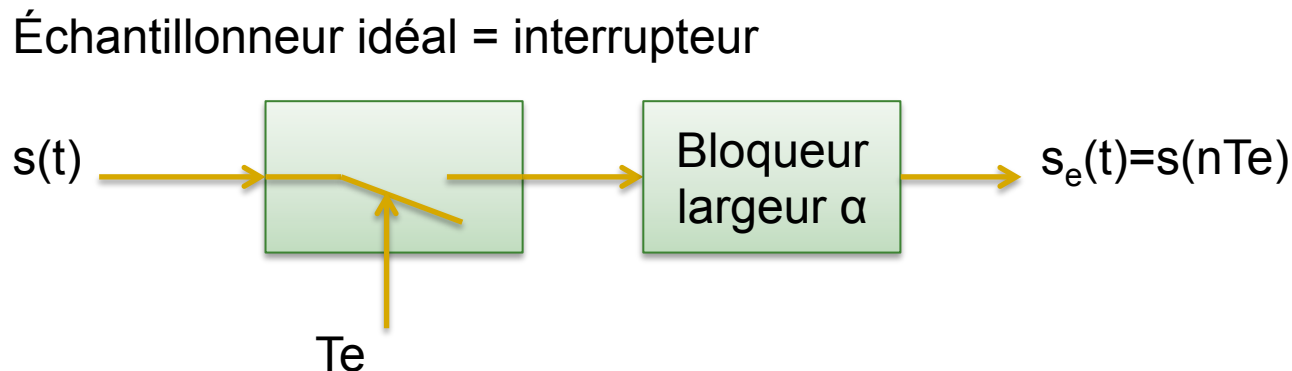
%Analyse spectrale
Y = fft(x); % transformée de fourier du signal
f = Fs*linspace(0,1,length(Y)); %abscisses des fréquences

figure(1);
plot(f,abs(Y))
title('spectre de X(f)')
xlabel('Frequences (Hz)')
ylabel('|X(f)|')
```



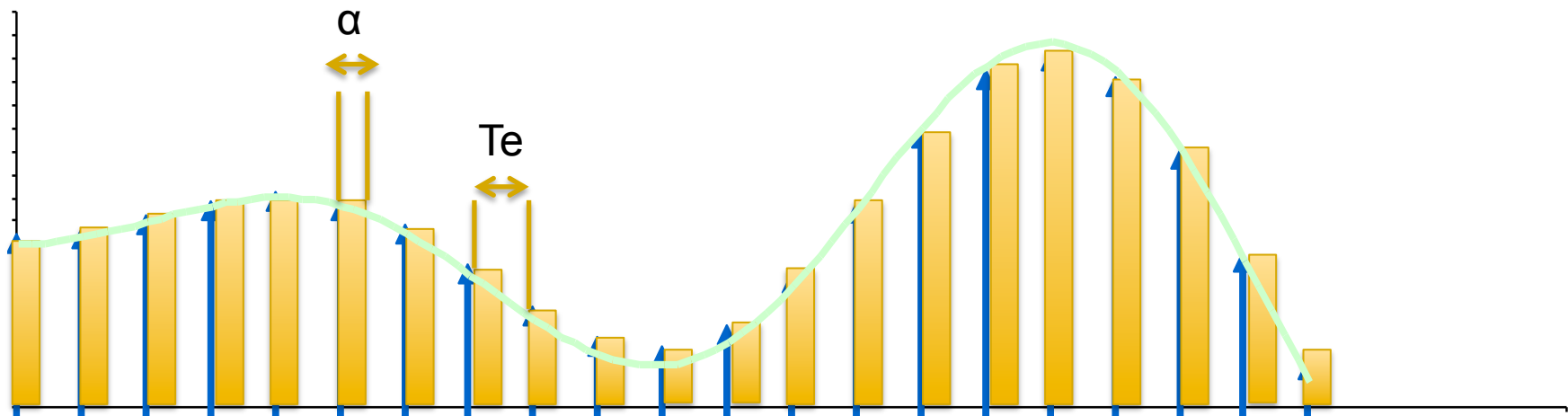
Echantillonnage réel

- L'échantillonnage idéal basé sur des impulsions ultra-courtes n'est pas réalisable. Dans la pratique, le dirac n'existe pas, les impulsions sont de durées finies α .
- Le signal échantillonné réel sera constitué d'une suite d'impulsion distantes de T_e et de largeur α .
- La valeur du signal est généralement bloqué pendant α (bloqueur d'ordre 0).



Echantillonnage réel

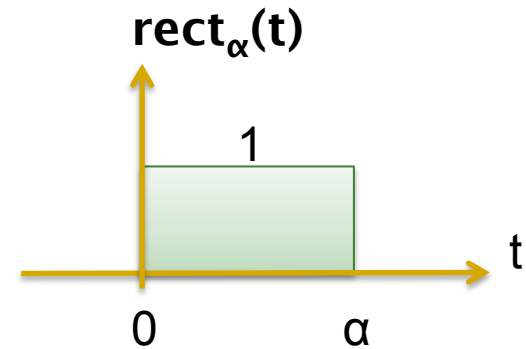
- L'allure temporelle du signal échantillonné est :



Echantillonnage réel

- L'échantillonnage réel correspond à multiplier le signal d'entrée par un peigne de porte de largeur α .

$$s_e(t) = s(t) \cdot \sum_{k=-\infty}^{+\infty} \text{rect}_\alpha(t - kT_e) = s(t) \cdot (\text{Pgne}_{T_e}(t) * \text{rect}_\alpha(t))$$



$$S_e(f) = S(f) * TF\left(\sum_{k=-\infty}^{+\infty} \text{rect}_\alpha(t - kT_e)\right) = S(f) * \left(\frac{1}{T_e} \sum_{k=-\infty}^{+\infty} \delta(f - k.f_e)\right) \cdot TF(\text{rect}_\alpha(t))$$

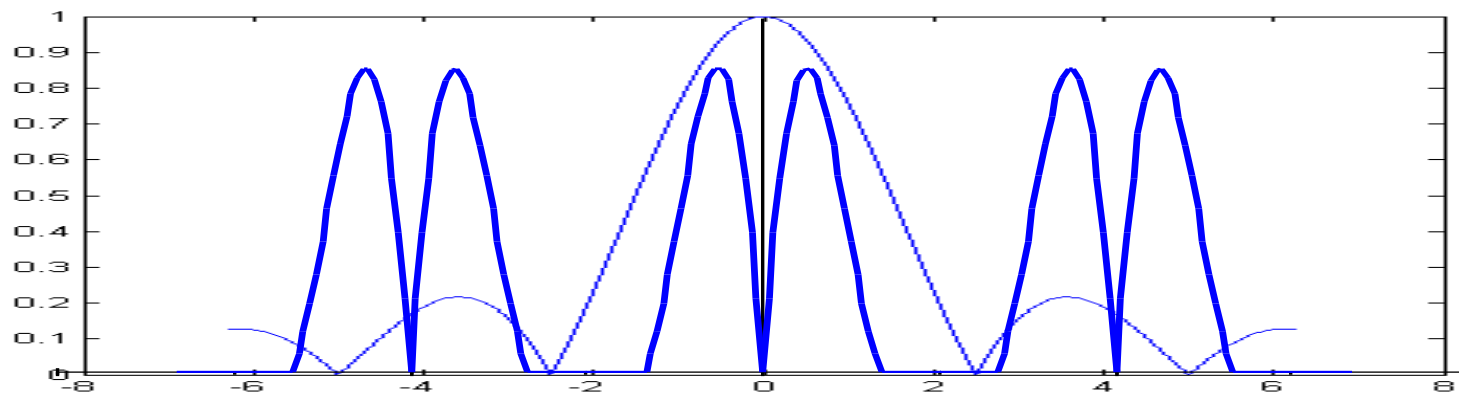
$$S_e(f) = \frac{1}{T_e} \sum_{k=-\infty}^{+\infty} S(f - k.f_e) \cdot TF(\text{rect}_\alpha(t)) = \left[\alpha \cdot \frac{\sin(\pi \cdot f \cdot \alpha)}{\pi \cdot f \cdot \alpha} \right] \cdot \frac{1}{T_e} \sum_{k=-\infty}^{+\infty} S(f - k.f_e)$$

Echantillonnage réel

- Le spectre du signal échantillonné réel est :

$$S_e(f) = \frac{\alpha}{T_e} \sum_{k=-\infty}^{+\infty} \frac{\sin(\pi.k.f_e.\alpha)}{\pi.k.f_e.\alpha} .S(f - k.f_e)$$

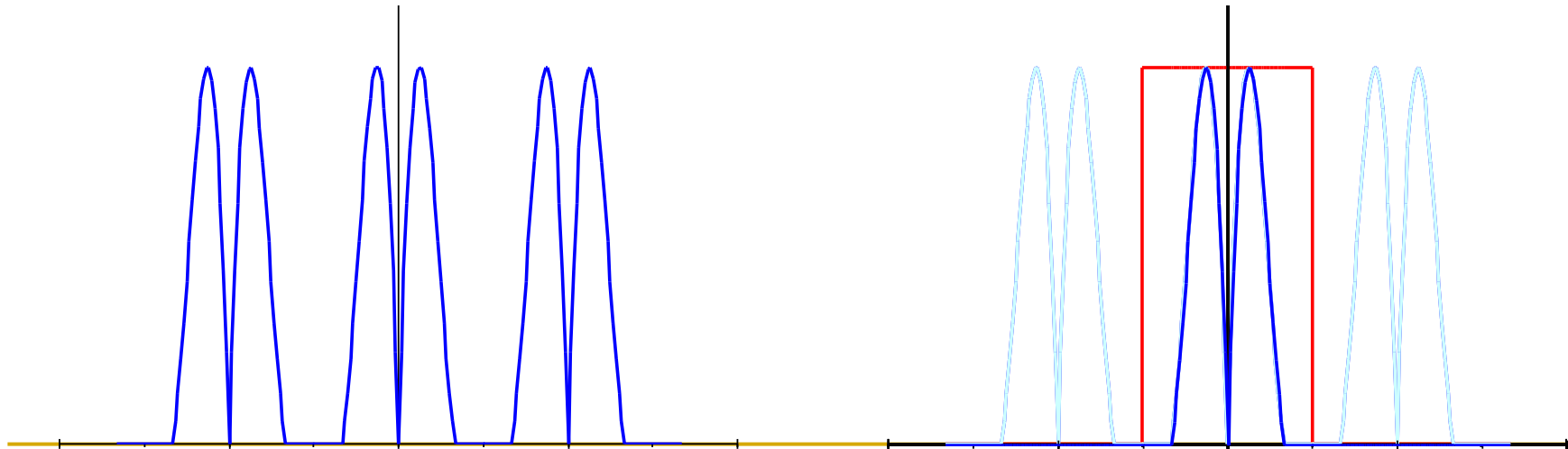
- Le spectre correspond au spectre d'un signal échantillonné de manière idéal (réplication du spectre du signal d'entrée) mais modulé par un sinus cardinal.



Reconstruction du signal original ?

- Si on dispose uniquement du signal échantillonné $S_e(t)$, peut on retrouver le signal original $S(t)$?
 - 1^{ère} condition : le signal $S(t)$ est à spectre borné
 - 2^{ème} condition : l'échantillonnage a été réalisé en respectant Shannon
- Filtre d'extraction du spectre de $S(f)$

$$S(f) = S_e(f) \cdot \text{rect}_{F_e}(f)$$



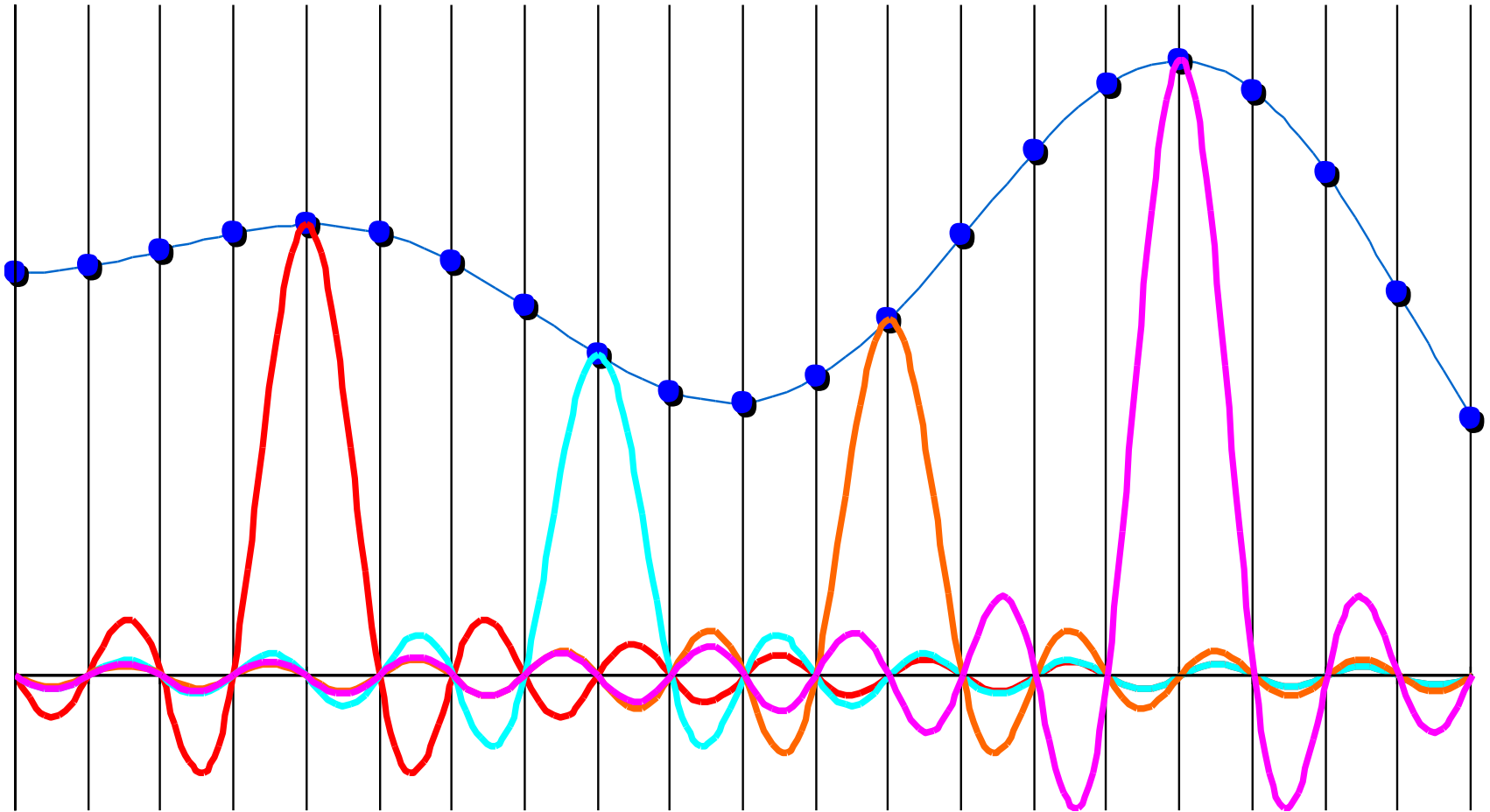
Reconstruction du signal original

- Le signal $s(t)$ peut être obtenu par transformée de fourier inverse à partir du spectre du signal échantillonné, filtré par un filtre passe-bas de largeur F_e


$$S(f) = S_e(f) \cdot \text{rect}_{F_e}(f)$$
$$s(t) = s_e(t) * f_e \cdot \frac{1}{f_e} \frac{\sin(\pi \cdot f_e \cdot t)}{\pi \cdot f_e \cdot t} = \sum_{k=-\infty}^{+\infty} s(k \cdot T_e) \cdot \delta(t - k \cdot T_e) * \frac{\sin(\pi \cdot f_e \cdot t)}{\pi \cdot f_e \cdot t}$$

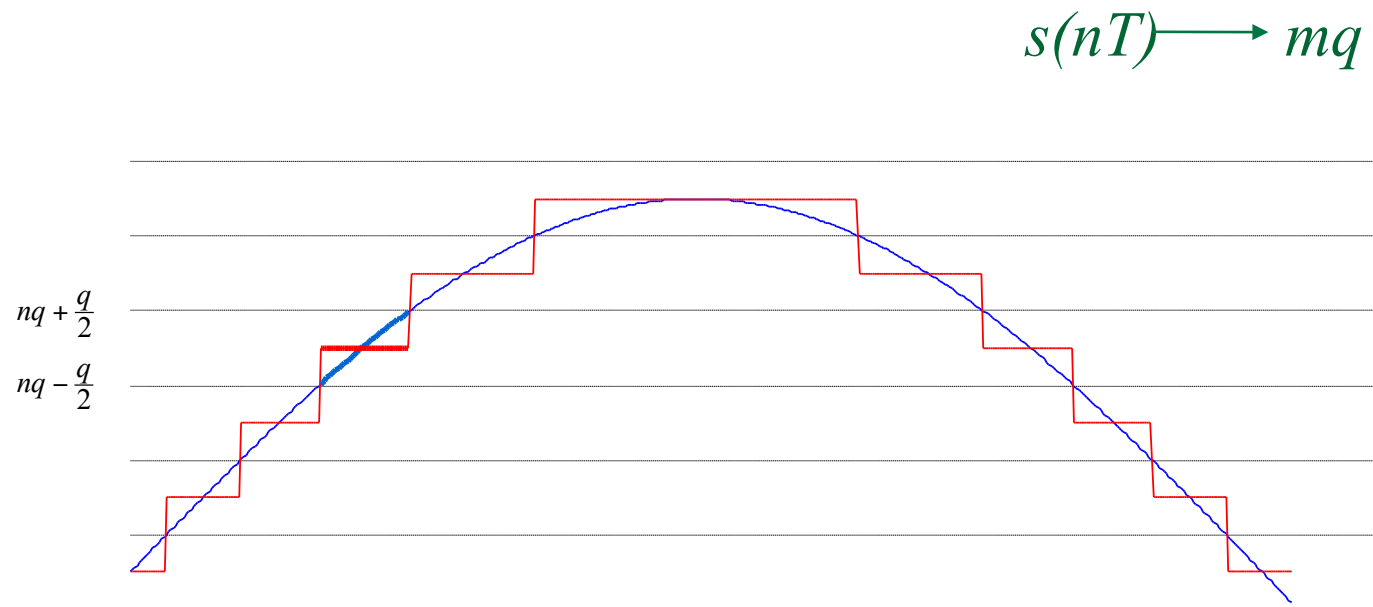
$$s(t) = \sum_{k=-\infty}^{+\infty} s(k \cdot T_e) \cdot \frac{\sin(\pi \cdot f_e \cdot (t - k \cdot T_e))}{\pi \cdot f_e \cdot (t - k \cdot T_e)}$$

Reconstruction



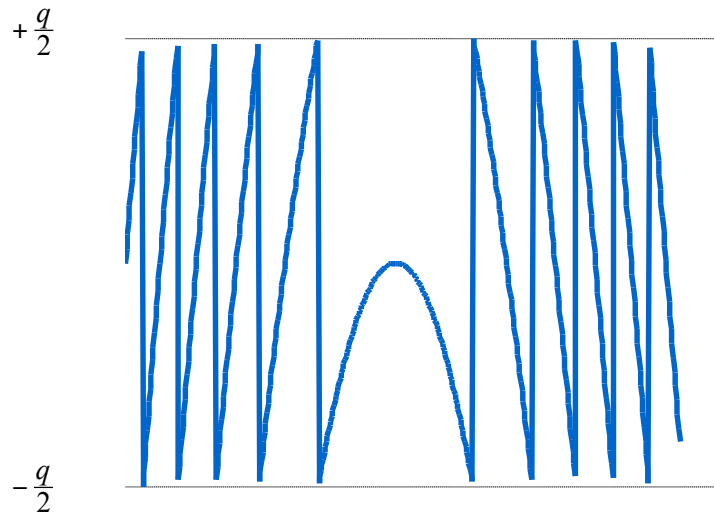
Quantification

- Le signal échantillonné est quantifié en amplitude afin de fournir une représentation (format de codage) compatible avec les traitements numériques

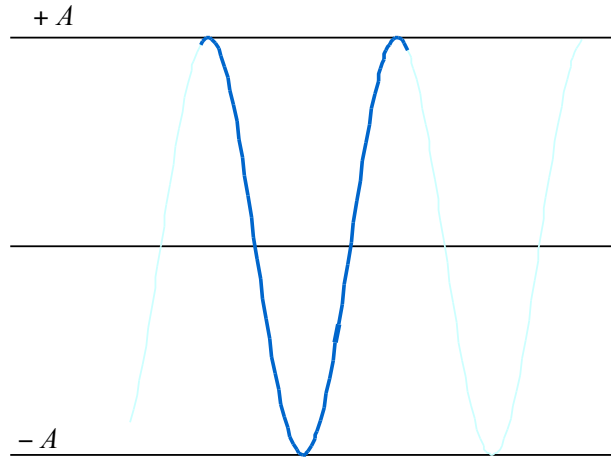


Bruit de quantification

- Le bruit de quantification est dû à l'erreur comise entre le signal réel et le signal discrétisé en amplitude.
- On montre que ce bruit à une valeur de $B = \frac{q^2}{12}$ ou q représente le quantum
- Le quantum est la plus petite valeur quantifiable \Leftrightarrow LSB



Quantification : dynamique de codage



- 2^N valeurs sur la dynamique totale du codeur soit:

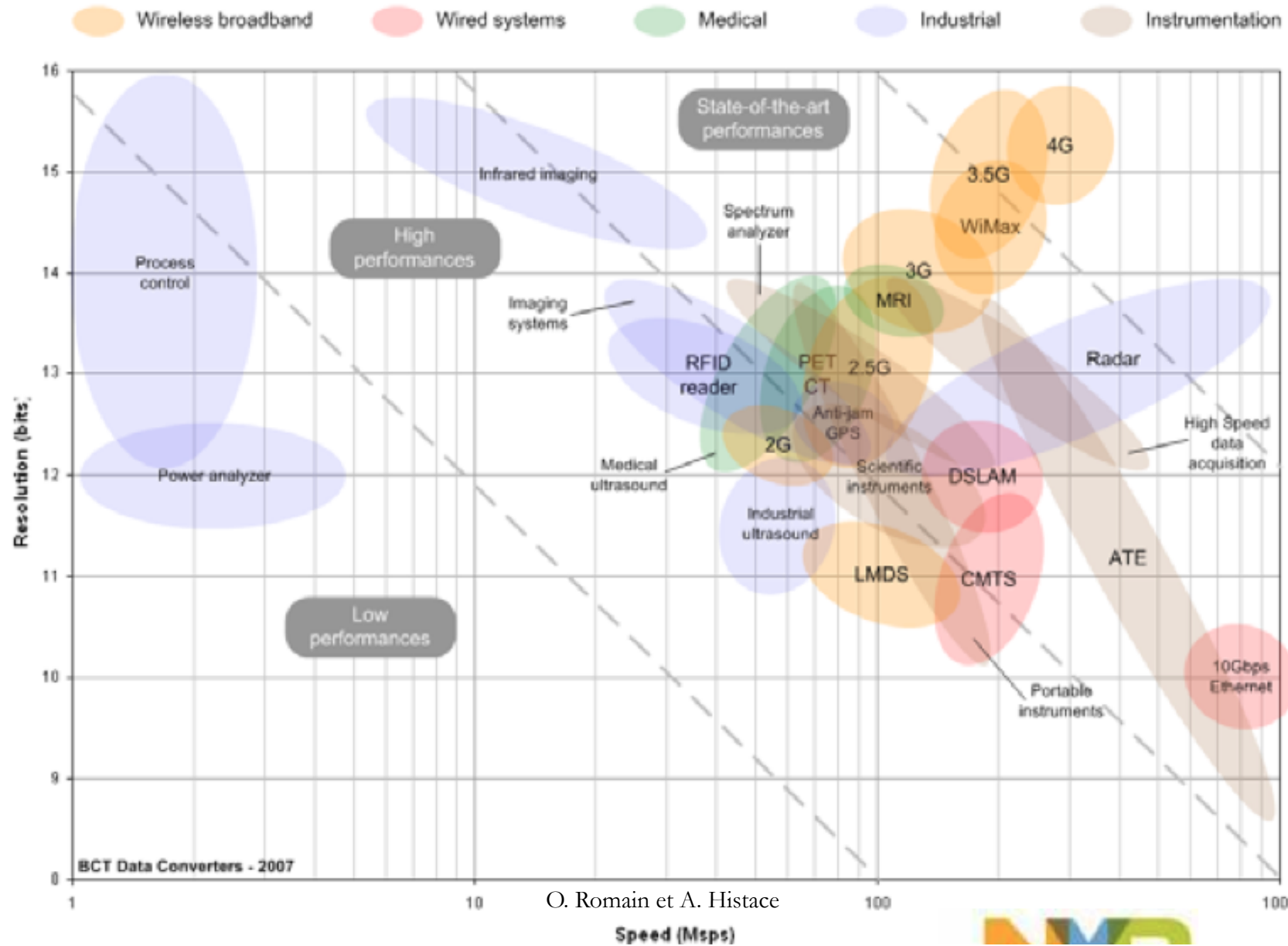
$$A = 2^{n-1} \cdot q$$

En exprimant la puissance du signal:

$$P_c = \frac{(2^{n-1} \cdot q)^2}{2} \qquad \frac{P_c}{B} = \frac{3}{2} \cdot 2^{2N}$$

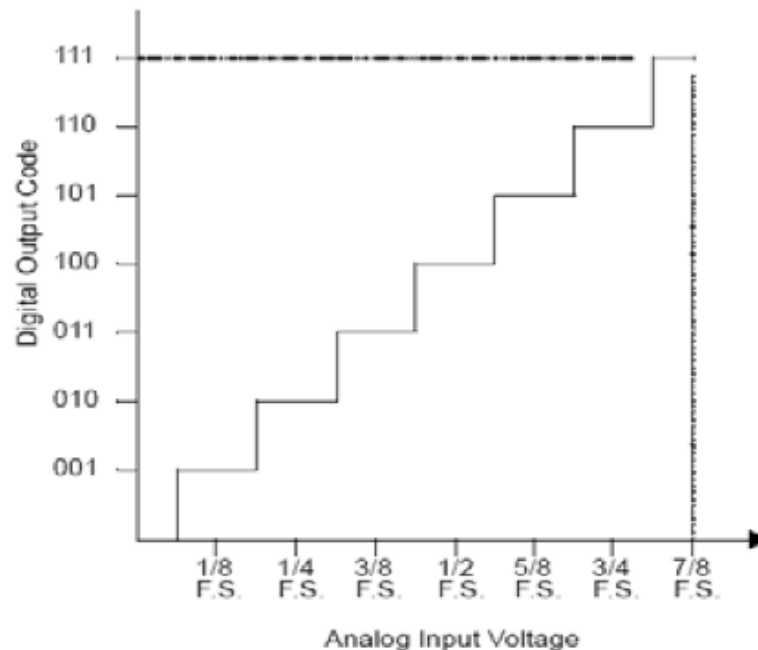
$$SNR = \left(\frac{P_c}{B} \right)_{dB} = 10 \cdot \log \left(\frac{3}{2} \cdot 2^{2N} \right) = 6.2 \cdot N + 1.76$$

CAN



CAN : caractéristique de transfert idéale

- Résolution : $x_{min} = q = x_{max} / (2^N - 1)$
- N bits, 2^N états ; 12bits \rightarrow 1 bit = 0.0244% FS
- Temps de conversion : $T_s = 1/F_s$



Fonction de transfert d'un convertisseur analogique numérique

CAN : nombre de bits ?

RESOLUTION N	2^N	VOLTAGE (10 V FS)	ppm FS	% FS	dB FS
2-bit	4	2.5 V	250,000	25	-12
4-bit	16	625 mV	62,500	6.25	-24
6-bit	64	156 mV	15,625	1.56	-36
8-bit	256	39.1 mV	3,906	0.39	-48
10-bit	1,024	9.77 mV (10 mV)	977	0.098	-60
12-bit	4,096	2.44 mV	244	0.024	-72
14-bit	16,384	610 μ V	61	0.0061	-84
16-bit	65,536	153 μ V	15	0.0015	-96
18-bit	262,144	38 μ V	4	0.0004	-108
20-bit	1,048,576	9.54 μ V (10 μ V)	1	0.0001	-120
22-bit	4,194,304	2.38 μ V	0.24	0.000024	-132
24-bit	16,777,216	596 nV*	0.06	0.000006	-144

NOTES: *600 nV is the Johnson Noise in a 10 kHz BW of a 2.2 k Ω Resistor @ 25°C

10 bits and 10 V FS yields an LSB of 10 mV, 1000 ppm, or 0.1%.
All other values may be calculated by powers of 2.

Partie 3

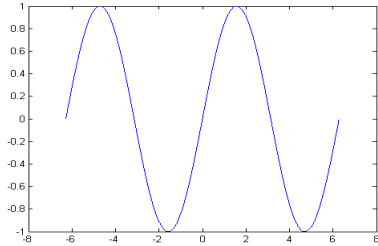
Analyse spectrale des signaux échantillonnés

Méthodes de calcul fréquentielles

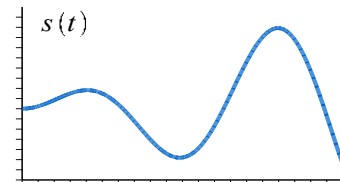
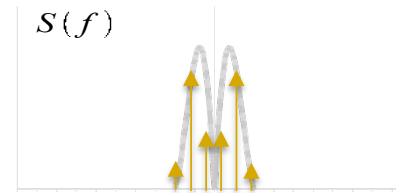
- L'analyse en fréquence des signaux permet de donner des informations supplémentaires à l'analyse en temps
- Les méthodes utilisées dépendent de la nature des signaux

Signal	Spectre Méthode de calcul	Spectre caractéristiques
Continu périodique	Série de Fourier	Discret et périodique
Continu non périodique	Transformée de Fourier	Continu et périodique
Discret périodique	Transformée de Fourier Discrète	Discret et périodique
Discret non périodique	Transformée de Fourier	Continu et périodique

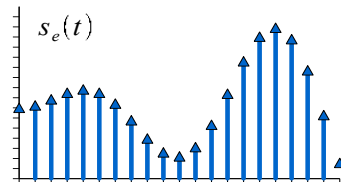
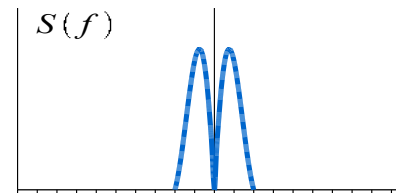
Méthodes de calcul fréquentielles



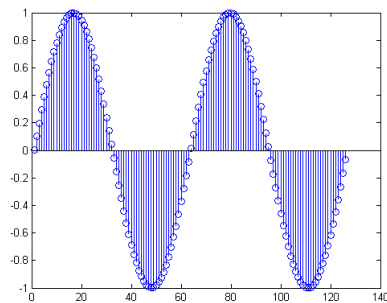
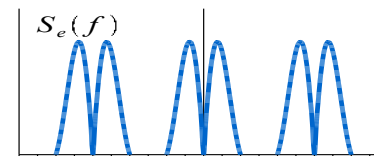
Série de Fourier



TF



TF

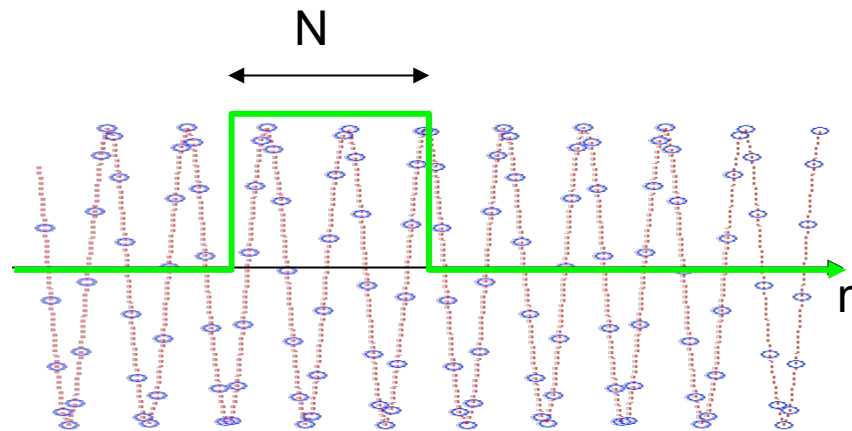


TFD



Transformée de Fourier Discrète : TFD

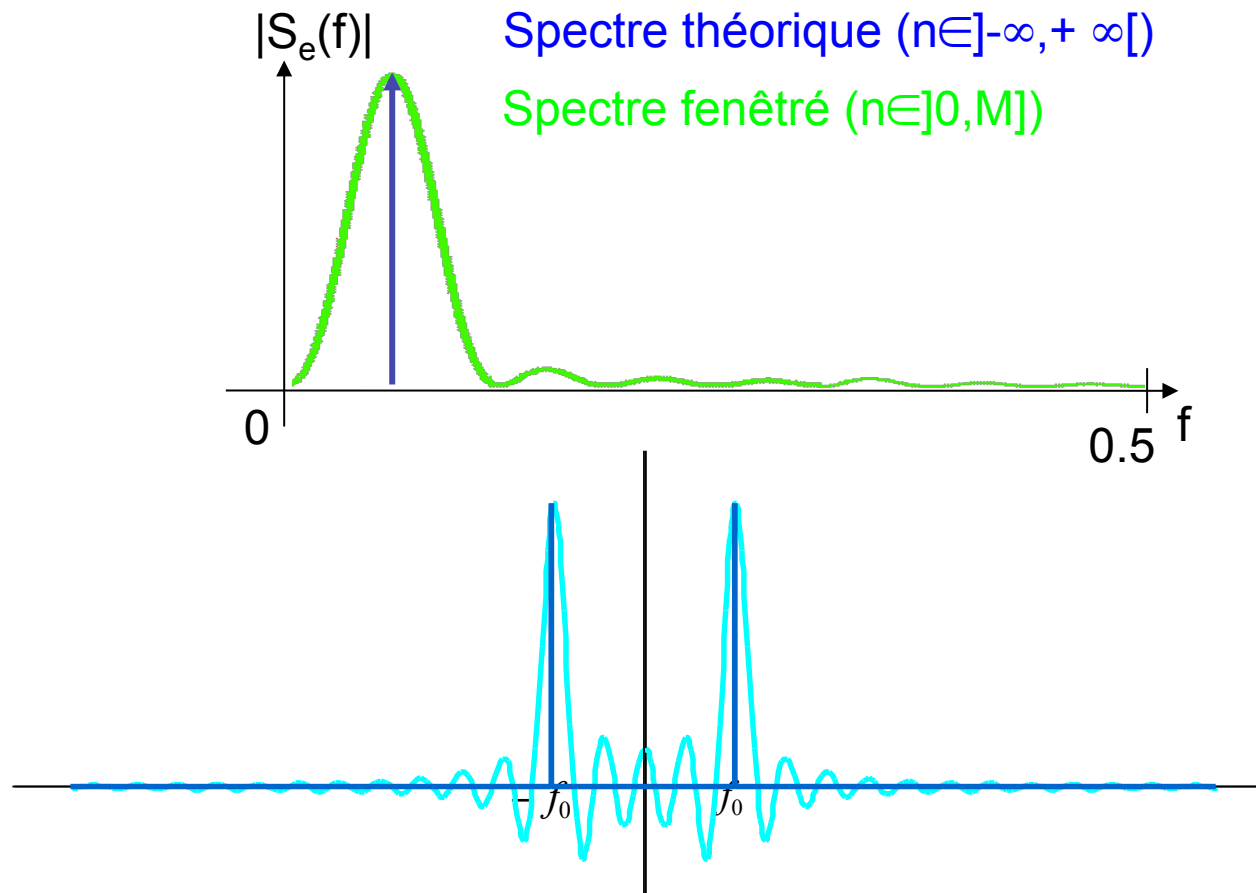
- Objectif : calculer la transformée de Fourier d'un signal $s(t)$ à l'aide d'un ordinateur.
- Contraintes matérielles (mémoire, temps de calcul, ...) qui restreignent le nombre d'échantillon en entrée



$$s_e(t) = \sum_{k=0}^{N-1} s(k.T_e) \cdot \delta(t - k.T_e) \cdot h(k.T_e)$$

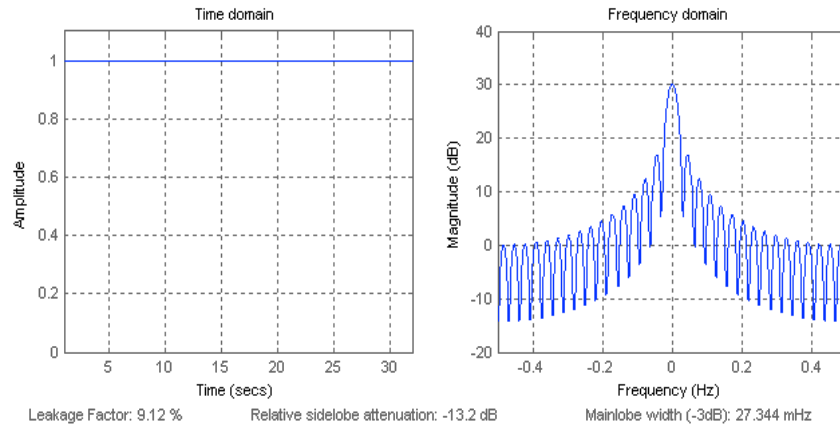
Signaux à durée limités

- Distorsion : effet de fenêtrage

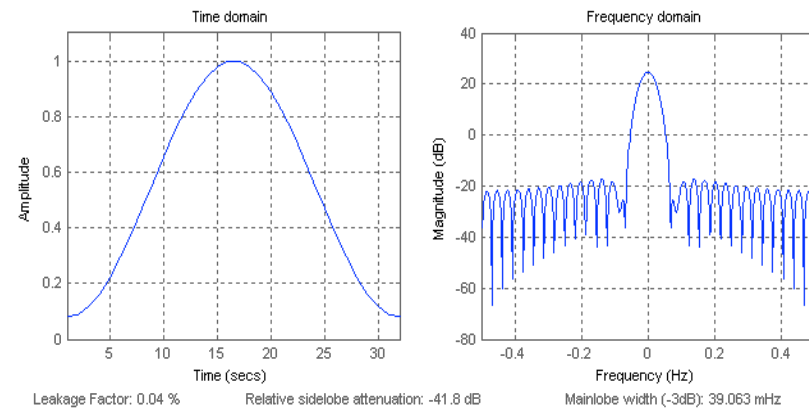


Fenêtrage

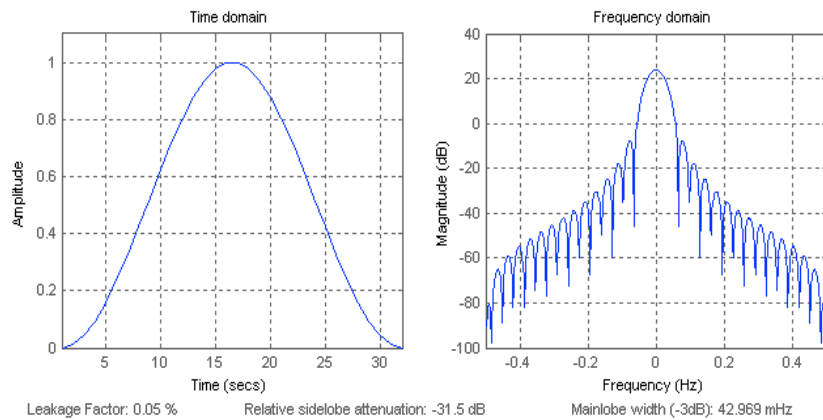
Rectangular



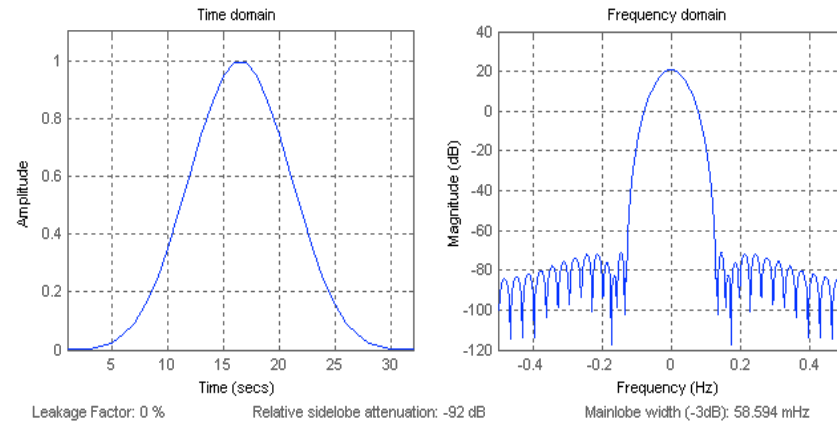
Hamming



Hann



Blackmann-Harris

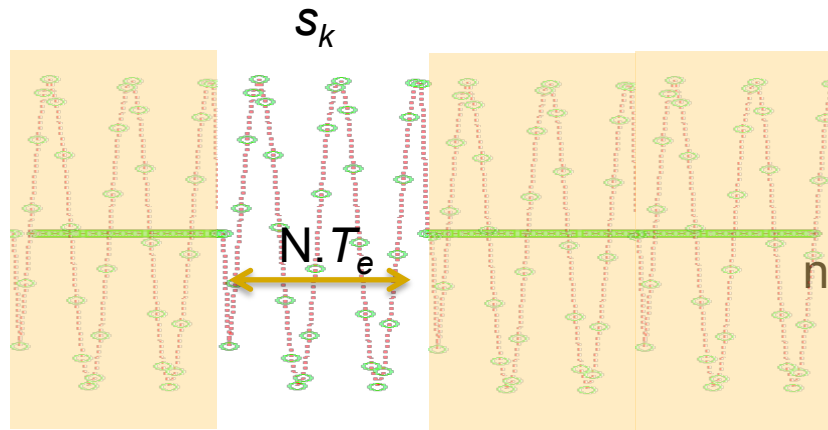


WINTool sous Matlab

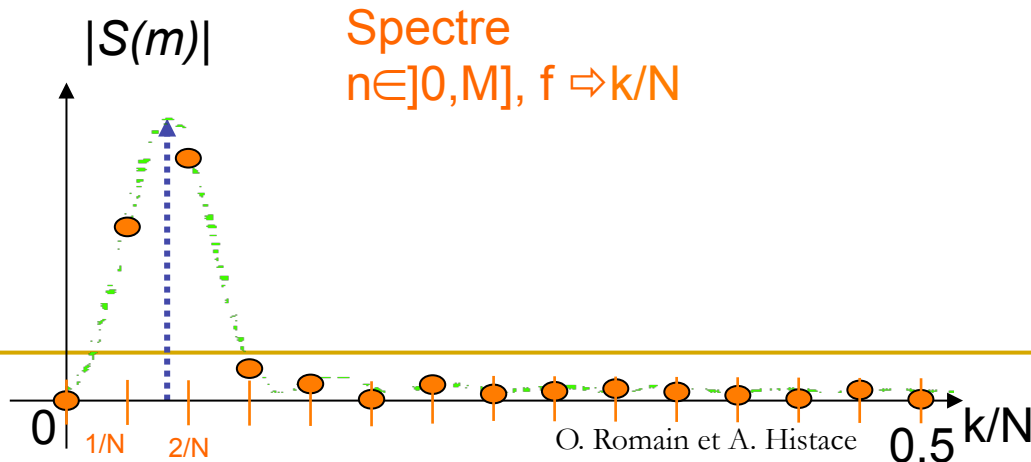
Transformée de Fourier Discrète : TFD

- Définition:

- On appelle transformée de Fourier Discrète (TFD ou DFT) d'un signal défini sur par N échantillons, s_k , la suite de N termes S_m , définie par :



$$S(m) = \sum_{k=0}^{N-1} s_k \cdot e^{-j \cdot 2 \cdot \pi \cdot \frac{k \cdot m}{N}}$$



Résumé TFD

- Soit N le nombre de points régulièrement espacés sur la période d'observation T .
- Le signal est défini par une suite de N valeurs s_k .
- Le spectre du signal est estimé par une suite de N valeurs S_k .
- Remarque : La TFD correspond à une Transformée de Fourier pour le signal fenêtré mais avec $f=1/(N \cdot T_e)$.
- La transformée de Fourier Discrète Inverse correspond à :

$$s(k) = \frac{1}{N} \cdot \sum_{m=0}^{N-1} S_m \cdot e^{j \cdot 2 \cdot \pi \cdot \frac{k \cdot m}{N}}$$

TFD et Matlab

fft

Discrete Fourier transform

Syntax

```
Y = fft(X)
Y = fft(X, n)
Y = fft(X, [], dim)
Y = fft(X, n, dim)
```

Definition

The functions $Y=\text{fft}(x)$ and $y=\text{ifft}(X)$ implement the transform and inverse transform pair given for vectors of length N by:

$$X(k) = \sum_{j=1}^N x(j) \omega_N^{(j-1)(k-1)}$$

$$x(j) = (1/N) \sum_{k=1}^N X(k) \omega_N^{-(j-1)(k-1)}$$

where

$$\omega_N = e^{(-2\pi i)/N}$$

is an N th root of unity.

Matlab : TFD

```
clear all;
close all;
clc;
Fs = 1000; %fréquence d'échantillonnage
Ts = 1/Fs; %période d'échantillonnage
L = 500*(Fs/100); %longueur de la séquence (500 périodes du signal)
t = Ts*(0:L-1); %vecteur temporel

% Signal d'entrée : sinusoïde de fréquence 100 Hz et d'amplitude 5volts
x = 5*sin(2*pi*100*t);

%Analyse spectrale
Y = fft(x); % TFD du signal sur toute la longueur
f = Fs*linspace(0,1,length(Y)); %abcise des fréquences

figure(1);
plot(f,abs(Y))
title('spectre de X(f)')
xlabel('Frequences (Hz)')
ylabel('|X(f)|')
hold
line([500 500],[0 1400],'Color','r','LineWidth',1)

%Analyse spectrale sur une fenêtre de 200 échantillons
feq = Fs*linspace(0,1,length(x(100:300))); %abcise des fréquences
plot(feq,abs(fft(x(100:300))), 'r')
```

Matlab : exercice

■ Effet du fenêtrage sur la précision de la TFD

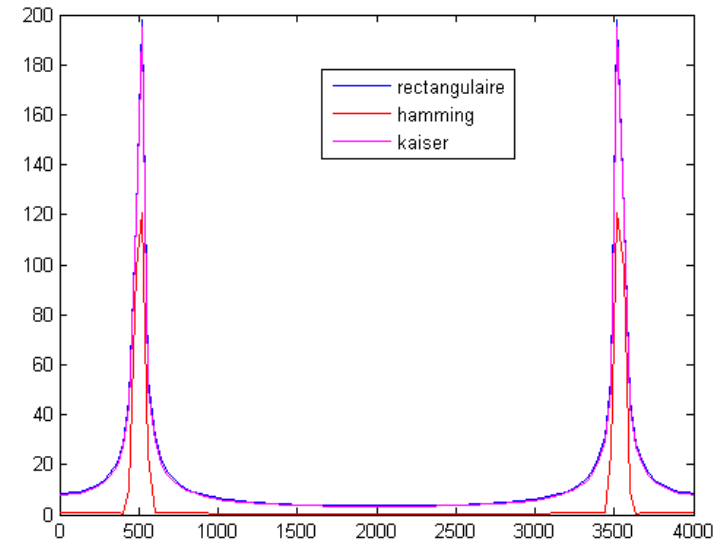
```
clear all;
close all;
clc;
Fs = 4000; %fréquence d'échantillonnage
Ts = 1/Fs; %période d'échantillonnage
L = 500*(Fs/100); %longueur de la séquence (500 périodes du signal)
t = Ts*(0:L-1); %vecteur temporel

% Signal d'entrée : sinusoïde de fréquence 500 Hz et d'amplitude 5volts
x = 5*sin(2*pi*500*t);
se = x(100:200);
te = t(100:200);
figure(1);
plot(t,x);
hold
plot(te,se,'.m');
axis([t(50) t(400) -6 6]);

%Analyse spectrale sur une fenêtre de 201 échantillons
figure(3);
Xw=fft(se);
fw=Fs*linspace(0,1,length(Xw));
plot(fw,abs(Xw));
hold

win=hamming(length(se))'; %utilisation d'une fenêtre de hamming
Xwham=fft(win.*se);
fwham=Fs*linspace(0,1,length(Xwham));
plot(fw,abs(Xwham),'r');

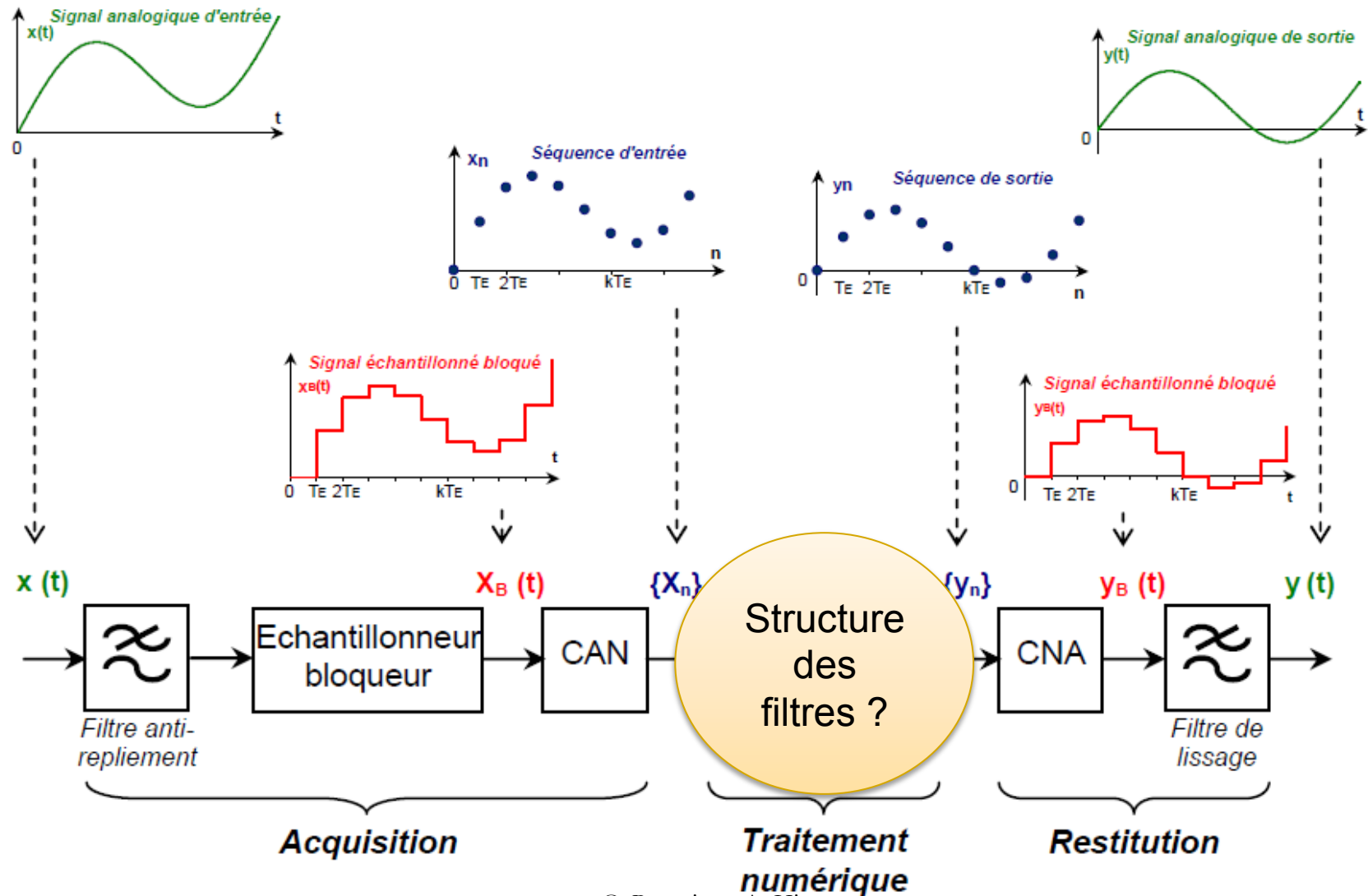
win=kaiser(length(se))'; %utilisation d'une fenêtre de blackmann
Xkaiser=fft(win.*se);
fkaiser=Fs*linspace(0,1,length(Xkaiser));
plot(fkaiser,abs(Xkaiser),'m');
legend('rectangulaire','hamming','kaiser');
```



Partie 3

Filtres FIR et RII Structures et synthèses

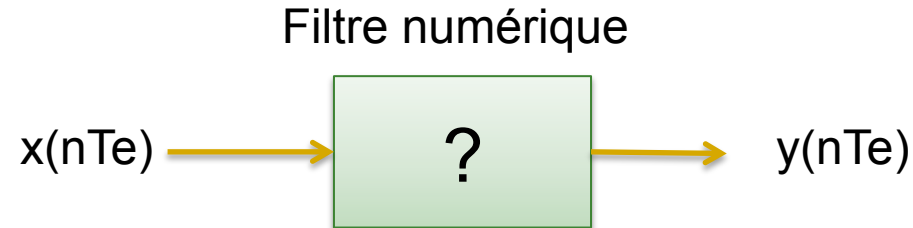
Structure d'une TNS



Introduction

■ Définition

- On appelle « filtre numérique » un système utilisé pour modifier les caractéristiques fréquentielles d'un signal numérique en entrée selon un gabarit donné.
- Un filtre numérique transforme un signal discret (entrée) en un autre signal discret (sortie)



- Filtres numériques sont pour le discret ce que les filtres analogiques sont pour le continu

■ Remarque :

- Avec les circuits numériques de traitement (DSP, FPGA, GPU, etc.), les filtres numériques sont devenus plus intéressants du fait de la précision, fiabilité, stabilité, adaptabilité, etc.

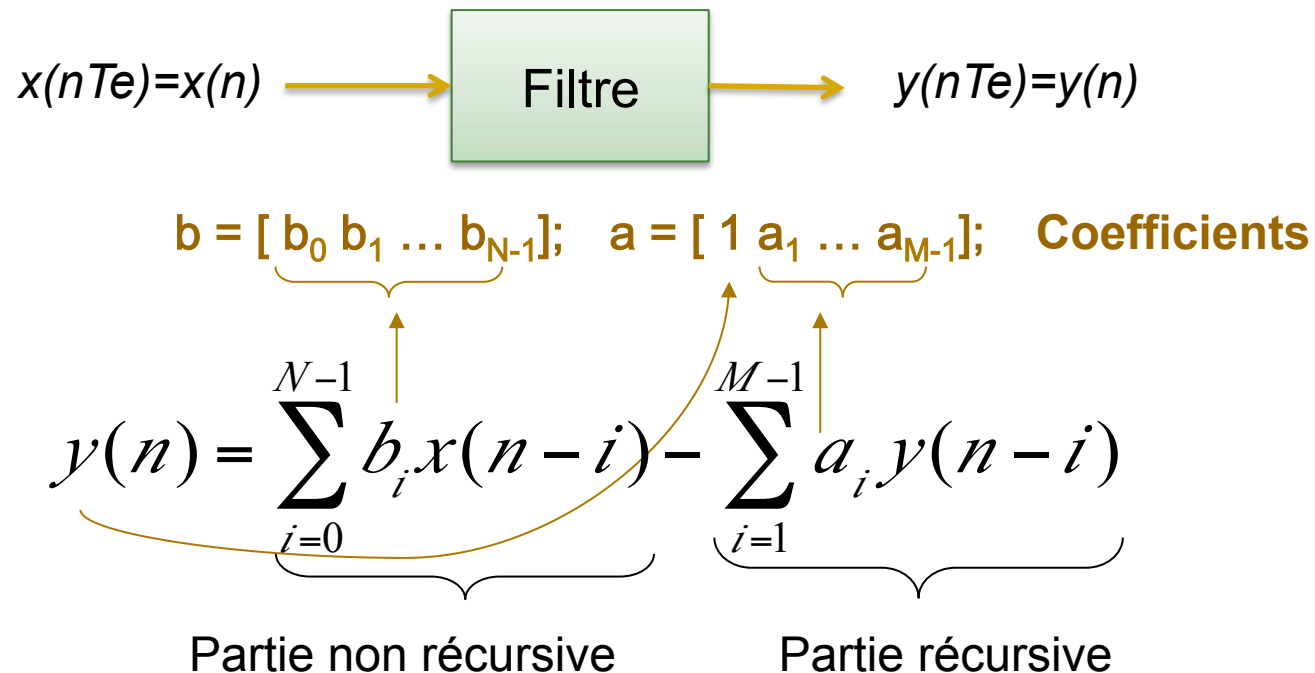
Filtres numériques

- Comme pour les filtres analogiques, le problème consiste à réaliser un filtre donnant une réponse fréquentielle $H(f)$ donnée, une réponse impulsionnelle $h(t)$ fixée ou éventuellement une réponse indicielle.
- D'une manière générale, la sortie y_k est une fonction de $(x_k, x_{k-1}, \dots, x_{k-N}, y_{k-1}, y_{k-2}, \dots, y_{k-N})$.



Filtre numérique

- La fonction générale de filtrage numérique (quelque soit sa structure), c'est à dire de calcul de l'échantillon y_k de sortie, répond à l'équation générale dite « **de différence** » :



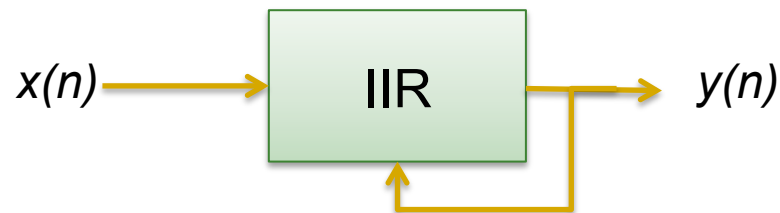
Filtres numériques

- Filtres non-récurrents : FIR – Filtre à Réponse Impulsionnelle Finie



$$y(n) = \sum_{i=0}^{N-1} b_i x(n-i)$$

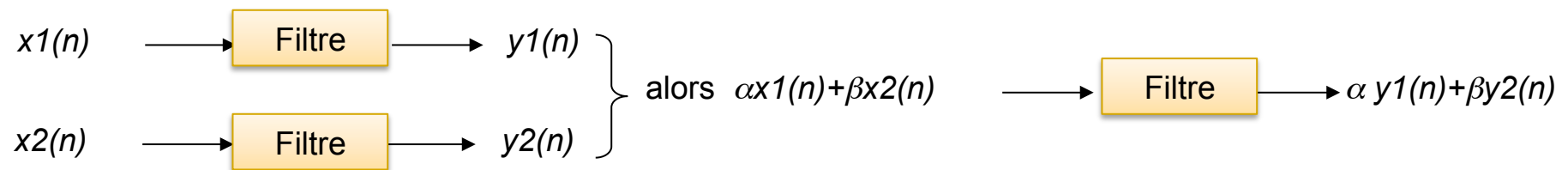
- Filtres récurrents : IIR – Filtre à Réponse Impulsionnelle Infinie



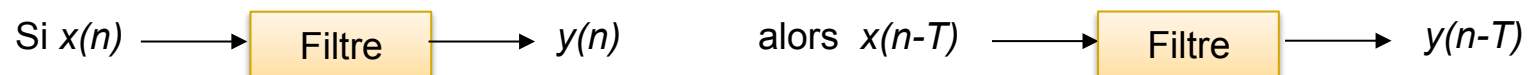
$$y(n) = \sum_{i=0}^{N-1} b_i x(n-i) - \sum_{i=1}^{M-1} a_i y(n-i)$$

Filtres numériques : propriétés

■ Linéarité



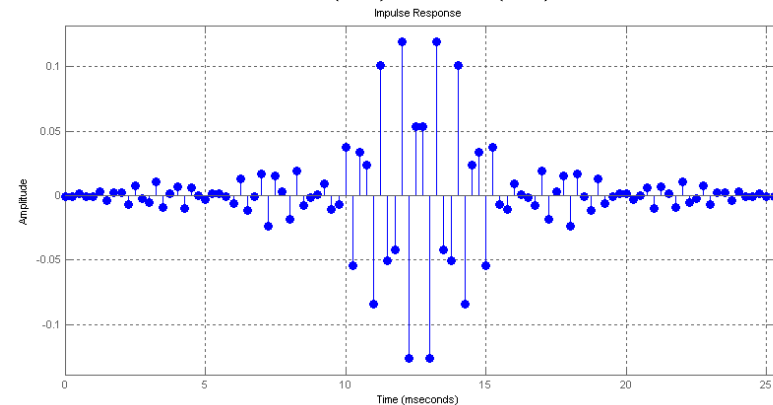
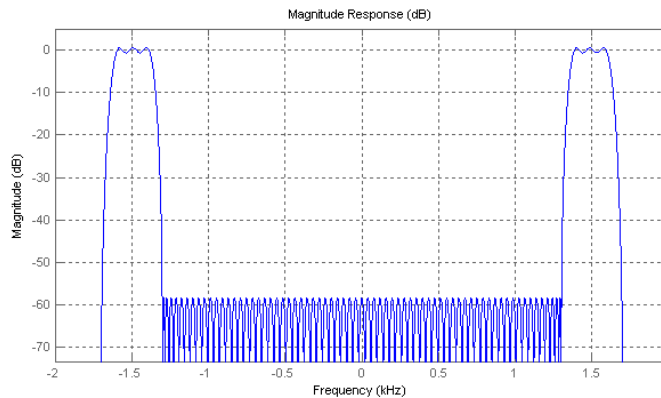
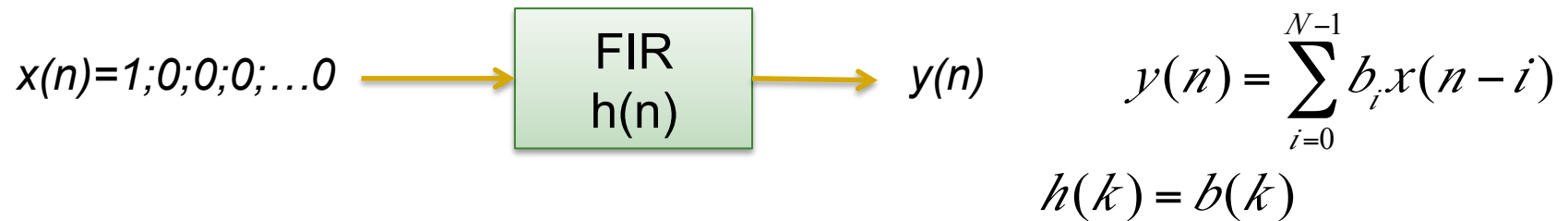
■ Retard



Réponse impulsionnelle

■ Filtre FIR

- La réponse impulsionnelle est obtenue sur $y(n)$ lorsque $x(n)$ est un dirac à $t=0$
 - $x(0) = 1; x(1) = 0; x(2) = 0; x(3) = 0; \dots \dots \dots x(N) = 0$



Réponse impulsionnelle

- Filtre FIR

- $x(0) = 1; y(0) = x(0).h(n-1) = h(n-1)$

- $x(1) = 0; y(1) = x(0).h(n-2) + x(1).h(n-1) = h(n-2)$

- $x(2) = 0; y(2) = x(0).h(n-3) + x(1).h(n-2) + x(2).h(n-1) = h(n-3)$

- $x(3) = 0; y(3) = x(0).h(n-4) + x(1).h(n-3) + x(2).h(n-2) + x(3).h(n-1) = h(n-4)$

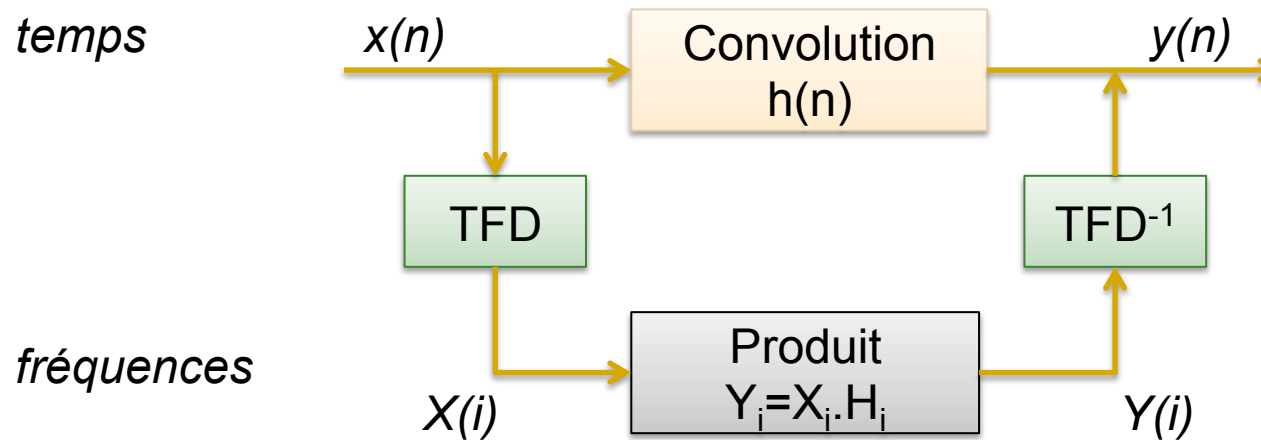
- ...

- ...

Filtres numériques

■ Remarques

- Comme pour les filtres analogiques le filtrage peut être réalisé dans l'espace des fréquences via un produit du spectre du signal échantillonné par la réponse fréquentielle du filtre



■ 3 phases pour la conception des filtres numériques

- Détermination des coefficients de $h(n)$
- Synthèse du filtre par l'équation aux différences
- Programmation du filtre (algorithme) sur la cible matérielle

Transformée en Z

- La transformée en Z est l'équivalent de la transformée de Laplace pour les signaux continus
- La transformée en Z d'un signal $s(t)$ échantillonnée à T_e est donnée par :

$$S(z) = \sum_{k=0}^{\infty} s(k.T_e).z^{-k} = \sum_{k=0}^{\infty} s(k.T_e).e^{-k.p.T_e}$$

- L'origine de la transformée en Z provient du calcul de la transformée de Laplace du signal échantillonné

Transformée en Z

- Démonstration :

$$s_e(t) = s(t) \cdot \sum_{k=-\infty}^{+\infty} \delta(t - kT_e) = s(t) \cdot \text{Pgne}_{T_e}(t) = \sum_{k=-\infty}^{+\infty} s(k.T_e) \cdot \delta(t - kT_e)$$

$$S_e(p) = \int_0^{\infty} s_e(t) \cdot e^{-p \cdot t} \cdot dt = \int_0^{\infty} \sum_{k=-\infty}^{+\infty} s(k.T_e) \cdot \delta(t - kT_e) \cdot e^{-p \cdot t} \cdot dt$$

$$S_e(p) = \sum_{k=-\infty}^{+\infty} s(k.T_e) \cdot \int_0^{\infty} \delta(t - kT_e) \cdot e^{-p \cdot t} \cdot dt = \sum_{k=-\infty}^{+\infty} s(k.T_e) \cdot e^{-p \cdot k.T_e}$$

$$z = e^{p.T_e} \longrightarrow S_e(z) = \sum_{k=-\infty}^{+\infty} s(k.T_e) \cdot z^{-k}$$

CQFD

Transformée en Z : propriétés

- Théorème du retard

$$w(n) = x(n - m) \xrightarrow{TFZ} W(z) = X(z) \cdot z^{-m}$$

- Opérateur retard unité

- L'opérateur retard fait correspondre à un signal le même signal mais retardé d'un échantillon



- Linéarité

$$w(n) = x(n) + y(n) \xrightarrow{TFZ} W(z) = \sum_{k=-\infty}^{+\infty} (x(k.T_e) + y(k.T_e)) \cdot z^{-k} = X(z) + Y(z)$$

Transformée en Z : propriétés

- Convolution

$$w(n) = x(n) * y(n) \xrightarrow{TFZ} W(Z) = X(Z).Y(Z)$$

- Multiplication par une exponentielle

$$w(n) = x(n).a^n \xrightarrow{TFZ} W(Z) = X\left(\frac{Z}{a}\right)$$

- Linéarité

$$w(n) = x(n).n \xrightarrow{TFZ} W(Z) = -Z \cdot \frac{dX(Z)}{dZ}$$

Transformée en Z inverse

- La transformée en Z inverse permet de retrouver le signal échantillonné temporellement

$$X(Z) \xrightarrow{TFZ^{-1}} x(n)$$

- Expression

$$x(n) = \frac{1}{2.\pi.j} \oint X(Z).Z^{n-1}.dZ$$

- Théorème des résidus

Exemple filtre numérique

- Filtre réalisant une moyenne sur deux échantillons consécutifs :

$$y(n) = \frac{x(n) + x(n-1)}{2} \xrightarrow{TFZ} Y(z) = \frac{X(Z) + Z^{-1}.X(Z)}{2} = X(Z). \left(\frac{1 + Z^{-1}}{2} \right)$$

$$H(Z) = \frac{1 + Z^{-1}}{2}$$

$$h(0) = 0.5$$

$$h(1) = 0.5$$

$$H(p) = \frac{1 + e^{-p.T_e}}{2} = e^{\frac{-p.T_e}{2}} \cdot \frac{(e^{\frac{p.T_e}{2}} + e^{\frac{-p.T_e}{2}})}{2}$$

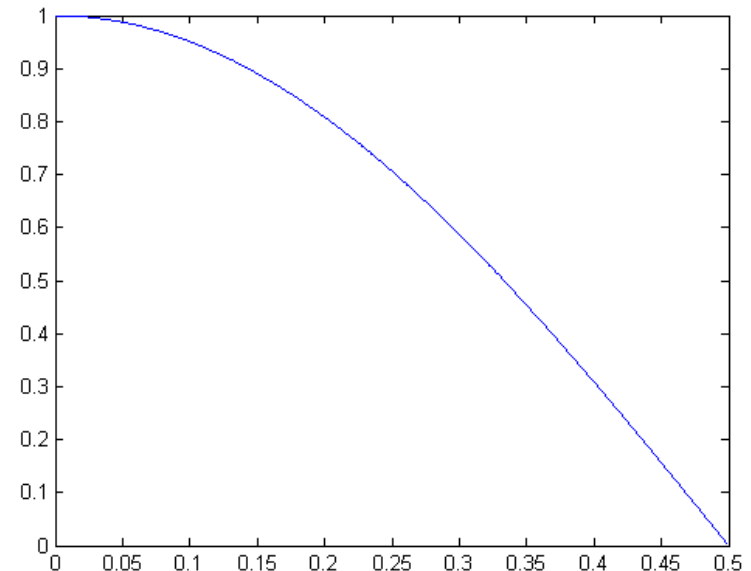
$$H(f) = \cos(\pi.f.T_e) \cdot e^{-j.\pi.f.T_e}$$

Exemple filtre numérique

```
clear all;
close all;
clc;

numérateur=[0.5 0.5];
dénominateur=1;
sys=tf(numérateur,
dénominateur, 1);

[H,W] = freqz([0.5 0.5],
1,100); %réponse fréquentielle
du filtre, en Z
plot(W/(2*pi),abs(H))
%affichage en fréquence
```



Fonction de transfert

- Equation aux différences

$$y(n) = \sum_{i=0}^{N-1} b_i x(n-i) - \sum_{i=1}^{M-1} a_i y(n-i)$$



TFZ

$$Y(Z) = X(Z) \cdot \sum_{i=0}^{N-1} b_i \cdot Z^{-i} - Y(Z) \cdot \sum_{k=1}^{M-1} a_k \cdot Z^{-k}$$



H(Z)

$$H(Z) = \frac{Y(Z)}{X(Z)} = \frac{\sum_{i=0}^{N-1} b_i \cdot Z^{-i}}{\sum_{k=0}^{M-1} a_k \cdot Z^{-k}}$$

Fonction de transfert

■ FIR :

- Filtres non récurrents

$$H(Z) = \frac{Y(Z)}{X(Z)} = \sum_{i=0}^{N-1} b_i \cdot Z^{-i}$$

■ RII

- Filtres récurrents

$$H(Z) = \frac{Y(Z)}{X(Z)} = \frac{\sum_{i=0}^{N-1} b_i \cdot Z^{-i}}{\sum_{k=0}^{M-1} a_k \cdot Z^{-k}}$$

Synthèse des filtres

- Transformation de $H(p)$ en $H(z)$
 - La méthode la plus utilisée pour déterminer la fonction de transfert d'un filtre numérique, consiste à transposer la fonction de transfert $H(p)$ dans le plan Z par une règle de transformation de $p \rightarrow Z$

$$z = e^{p \cdot T_e} \longrightarrow p = \frac{\ln(z)}{T_e}$$

- Pas envisageable car $H(z)$ ne sera pas un polynôme en Z
 - Ne correspond pas à l'équation aux différences

$$H(p) = \frac{1}{p^2 + p + 1} \longrightarrow H(z) = \frac{T_e^2}{\ln(Z)^2 + T_e \cdot \ln(z) + T_e^2}$$

Synthèse des filtres

- Objectif : Trouver une transformation qui conserve le « quotient de deux polynômes »
 - Contraintes matérielles
- Les principales méthodes de synthèse sont :
 - A. Méthode de l'invariance impulsionnelle
 - B. Méthode de l'invariance indicielle
 - C. Transformation d'Euler ou équivalence de la dérivation
 - D. Transformation bilinéaire

A. Méthode de l'invariance impulsionnelle

Méthode de l'invariance impulsionnelle

- Objectif :
 - Réponse impulsionnelle du filtre numérique identique à la réponse impulsionnelle du filtre analogique échantillonnée.


$$H_e(f) = TF(h(t)) * TF(Pgn_{T_e}(t)) = H(f) * \sum_{k=-\infty}^{+\infty} \delta(f - k.f_e)$$


$$h_e(t) = T_e.h(t) \cdot \sum_{k=-\infty}^{+\infty} \delta(T - k.T_e) = T_e \cdot \sum_{k=-\infty}^{+\infty} h(k.T_e) \cdot \delta(T - k.T_e)$$

$$H_e(z) = T_e \cdot \sum_{k=-\infty}^{+\infty} h(k.T_e) \cdot z^{-k}$$

Exemple : filtre passe-bas : FIR

- Filtre passe-bas
 - Conditions :
 - fréquence de coupure $\ll F_e$
 - Filtres passe-bas ou filtre passe-bande

$$H(p) = \frac{1}{a + p} \longrightarrow h(t) = u(t) \cdot e^{-a \cdot t}$$

$$h_e(t) = T_e \cdot \sum_{k=0}^{+\infty} u(k \cdot T_e) \cdot e^{-a \cdot k \cdot T_e} \cdot \delta(T - k \cdot T_e)$$

$$H_e(z) = T_e \cdot \sum_{k=0}^{+\infty} e^{-a \cdot k \cdot T_e} z^{-k} = T_e \cdot \sum_{k=0}^{+\infty} (e^{-a \cdot T_e} z^{-1})^k = \frac{T_e}{1 - e^{-a \cdot T_e} \cdot z^{-1}} = \frac{z \cdot T_e}{z - e^{-a \cdot T_e}}$$

Exemple : filtre passe-bas Matlab

- Application : Filtre passe-bas 100Hz avec $F_e=10\text{kHz}$

```
clear all;
close all;
clc;

fo=100; %100Hz
fe=10000; %10kHz pour la frÈquence d'Èchantillonnage

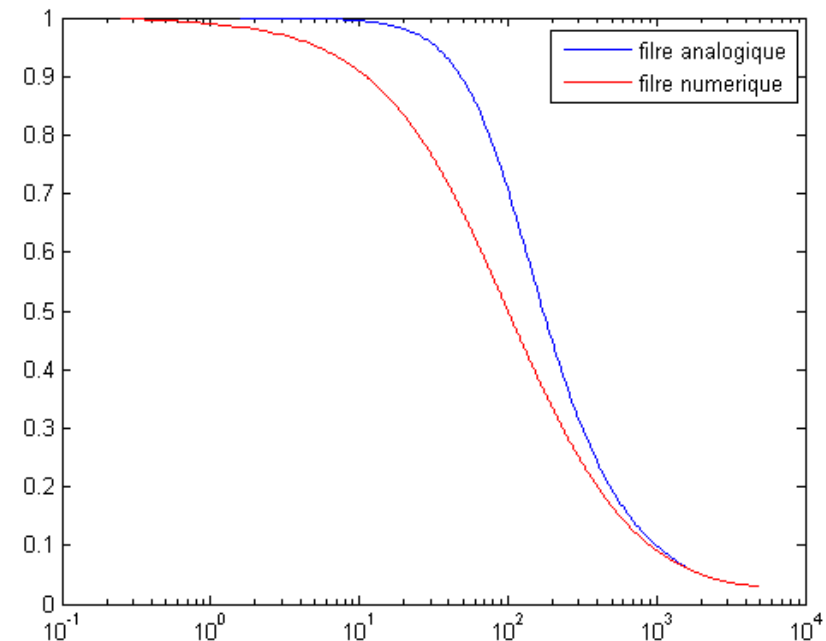
%filtre analogique
num=[1];
den=[1 2*fo*pi];
[H,W] = freqs(num,den); %rÈponse frÈquentielle du filtre,
en Z
semilogx(W/(2*pi), abs(H)/max(abs(H))) %affichage en
frÈquence
hold

%filtre numÈrique
numérateur=[1/fe 0];
dénominateur=[1 -exp(-j*2*fo*pi/fe)];

sys=tf(numérateur, dénominateur, fe);
[H1,W1] = freqz(numérateur,dénominateur,20000); %rÈponse
frÈquentielle du filtre, en Z
semilogx(W1/(2*pi)*fe, (abs(H1)/max(abs(H1))), 'r')
%affichage en frÈquence
legend('filtre analogique', 'filtre numerique');
```

$$a = 2.\pi.f_0.j = 200\pi.j$$

$$H_e(z) = \frac{0.0001.z}{z - e^{-0.02.\pi.j}}$$



B. Méthode de l'invariance indicielle

Méthode de l'invariance indicielle

- Objectif :
 - Réponse indicielle du filtre numérique identique à la réponse indicielle du filtre analogique échantillonnée.

$$H(p) = \frac{1}{1 + \tau p} \longrightarrow Y(p) = \frac{1}{p} \cdot \frac{1}{1 + \tau p} \longrightarrow y(t) = (1 - e^{-\tau \cdot t}) \cdot u(t)$$

$$y(n) = (1 - e^{-\tau \cdot n \cdot T_e}) \cdot u(n) \xrightarrow{TFZ} Y(Z) = \frac{1}{1 - z^{-1}} - \frac{1}{1 - e^{-\frac{T_e}{\tau}} \cdot z^{-1}} = H(z) \cdot \frac{1}{1 - z^{-1}}$$

$$H(z) = \frac{(1 - e^{-\frac{T_e}{\tau}}) \cdot z^{-1}}{1 - e^{-\frac{T_e}{\tau}} z^{-1}}$$

Exemple : filtre passe-bas Matlab

- Application : Filtre passe-bas 100Hz avec $F_e=10\text{kHz}$ invariance indicielle

```
clear all;
close all;
clc;

fo=100; %100Hz
fe=10000; %10kHz pour la frÈquence d'Èchantillonnage

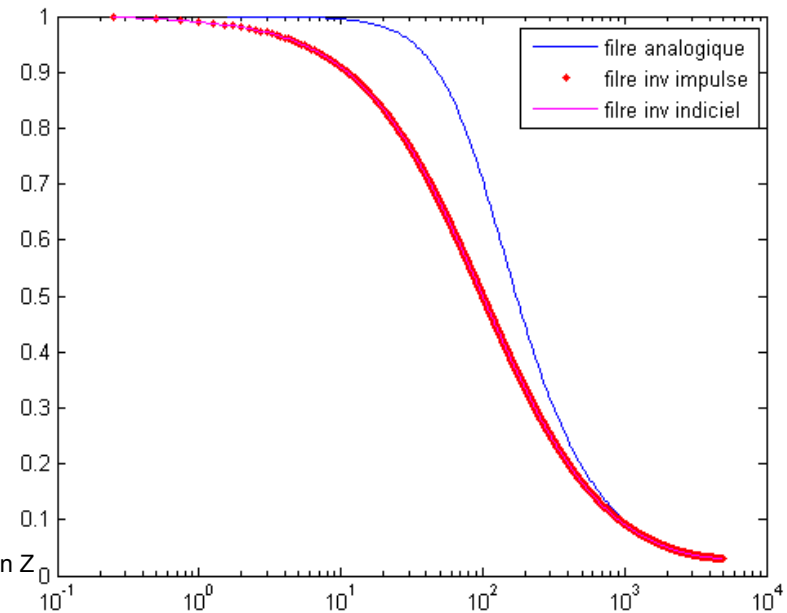
%filtre analogique
num=[1];
den=[1 2*fo*pi];
[H,W] = freqs(num,den); %rÈponse frÈquentielle du filtre, en Z
semilogx(W/(2*pi),abs(H)/max(abs(H))) %affichage en frÈquence
hold
```

```
%filtre numÈrique invariance impulsionnelle
num_impulse=[1/fe 0];
denom_impulse=[1 -exp(-j*2*fo*pi/fe)];

sys=tf(num_impulse, denom_impulse, fe);
[H1,W1] = freqz(num_impulse,denom_impulse,20000); %rÈponse frÈquentielle du filtre, en Z
semilogx(W1/(2*pi)*fe,(abs(H1)/max(abs(H1))),'r') %affichage en frÈquence
legend('filtre analogique','filtre numerique');
```

```
% filtre numÈrique invariance indicielle
num_indiciel=[0 (1-exp(-j*2*fo*pi/fe))];
denom_indiciel=[1 -exp(-j*2*fo*pi/fe)];
```

```
sys2=tf(num_impulse, denom_impulse, fe);
[H2,W2] = freqz(num_indiciel,denom_indiciel,20000); %rÈponse frÈquentielle du filtre, en Z
semilogx(W2/(2*pi)*fe,(abs(H2)/max(abs(H2))),'m') %affichage en frÈquence
legend('filtre analogique','filtre inv impulse','filtre inv indiciel');
```



C. Méthode d'Euler

Approximation de la dérivée

Enoncé du problème

- Une fonction de transfert analogique à la forme générale suivante :

$$H(p) = \frac{a_0 + a_1 \cdot p + a_2 \cdot p^2 + \dots + a_n \cdot p^n}{1 + b_1 \cdot p + b_2 \cdot p^2 + \dots + b_m \cdot p^m}$$

- La réponse temporelle répond à l'équation différentielle

$$y(t) + b_1 \cdot \frac{dy}{dt} + b_2 \cdot \frac{d^2 y}{dt^2} + \dots + b_m \cdot \frac{d^m y}{dt^m} = a_0 \cdot x(t) + a_1 \cdot \frac{dx}{dt} + a_2 \cdot \frac{d^2 x}{dt^2} + \dots + a_n \cdot \frac{d^m x}{dt^m}$$

- Approximation de la dérivée

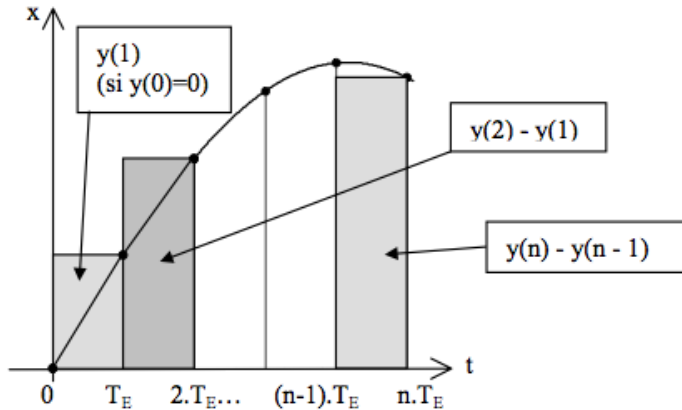
- Si $T_e \ll 1$

$$y(t) = \frac{dx}{dt} \xrightarrow{T_e \ll 1} y(n) = \frac{x(n) - x(n-1)}{T_e} \xrightarrow{TFZ} Y(z) = \frac{1 - z^{-1}}{T_e} \cdot X(z)$$

Enoncé du problème

- Approximation de la dérivée
 - Si $T_e \ll 1$

$$y(t) = \frac{dx}{dt} \xrightarrow{T_e \ll 1} y(n) = \frac{x(n) - x(n-1)}{T_e} \xrightarrow{TFZ} Y(z) = \frac{1 - z^{-1}}{T_e} \cdot X(z)$$



$$Y(p) = \frac{X(p)}{p} \xrightarrow{Euler} Y(z) = \frac{X(z)}{1 - z^{-1}} \cdot T_e$$

$$Y(z) = \frac{X(z)}{1 - z^{-1}} \xrightarrow{TFZ^{-1}} \frac{y(n) - y(n-1)}{T_e} = x(n)$$

Enoncé du problème

$$y(t) = \frac{dx}{dt} \longrightarrow Y(p) = p.X(p) \xrightarrow{TFZ} Y(z) = \frac{1-z^{-1}}{T_e}.X(z)$$

■ Transformation

$$p \xrightarrow{\text{Transformation}} \frac{1-z^{-1}}{T_e}$$

■ Méthode

- Détermination de la fonction de transfert souhaitée dans le domaine continu : $H(p)$
- Remplacer p par $(1-z^{-1})/T_e$ pour trouver la fonction $H(z)$

$$H(p) = \frac{1}{1+\tau.p} \xrightarrow{\text{Transformation}} H(z) = \frac{1}{1+\tau.\frac{1-z^{-1}}{T_e}} = \frac{\frac{T_e}{\tau}.z}{(\frac{T_e}{\tau}+1).z-1}$$

Exemple : filtre passe-bas Matlab Euler

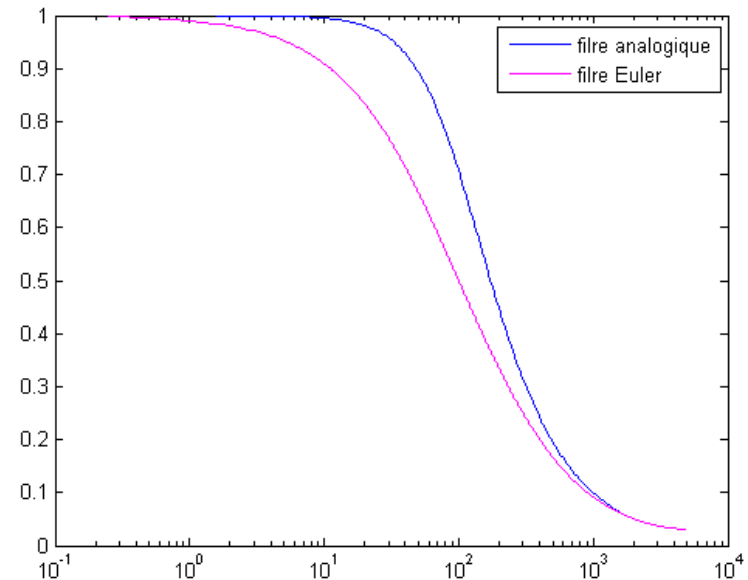
- Application : Filtre passe-bas 100Hz avec $F_e=10\text{kHz}$ transformation de Euler

```
clear all;
close all;
clc;

fo=100; %100Hz
fe=10000; %10kHz pour la frÈquence d'Èchantillonnage
Te=1/fe;

%filtre analogique
num=[1];
den=[1 2*fo*pi];
[H,W] = freqs(num,den); %rÈponse frÈquentielle du filtre,
en Z
semilogx(W/(2*pi),abs(H)/max(abs(H))) %affichage en
frÈquence
hold

% filtre numÈrique euler
tau=2*fo*pi*j;
num_euler=[(Te*tau) 0];
denom_euler=[(Te*tau)+1 -1];
sys2=tf(num_euler, denom_euler, fe);
[H2,W2] = freqz(num_euler,denom_euler,20000); %rÈponse
frÈquentielle du filtre, en Z
semilogx(W2/(2*pi)*fe,(abs(H2)/max(abs(H2))), 'm')
%affichage en frÈquence
legend('filtre analogique','filtre Euler');
```

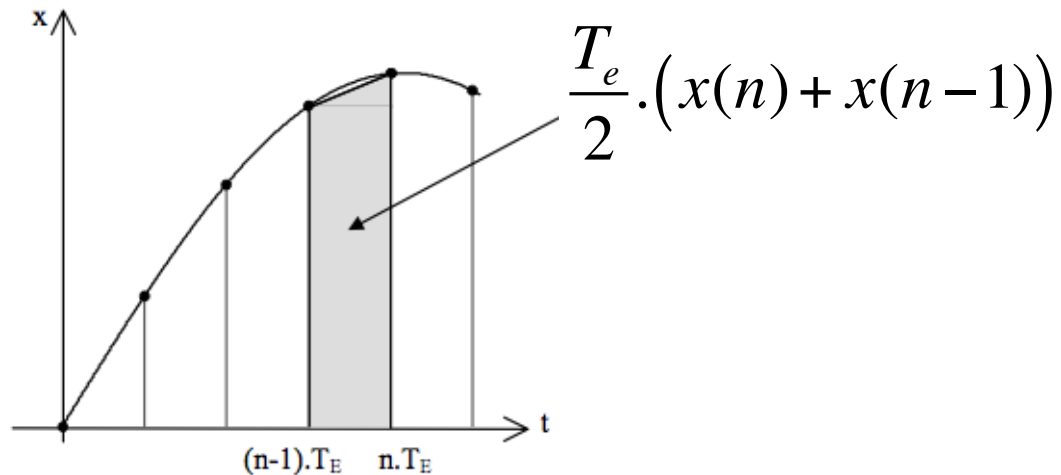


D. Transformation bilinéaire

Approximation de l'intégrale par la
méthode des trapèzes

Énoncé du problème

- Approximation de la surface : intégration



$$x = \frac{dy}{dt} \longrightarrow y = \int x = y(n) - y(n-1) = \frac{T_e}{2} (x(n) + x(n-1))$$

- Transformation bilinéaire : $p \xrightarrow{\text{Bilinéaire}} \frac{2}{T_e} \cdot \frac{1 - z^{-1}}{1 + z^{-1}}$

Méthode

1°) Détermination de la fonction de transfert continue du filtre dans le domaine continu, $H(p)$

2°) On applique la transformation bilinéaire pour trouver $H(z)$

$$p \xrightarrow{\text{Bilinéaire}} \frac{2}{T_e} \cdot \frac{1 - z^{-1}}{1 + z^{-1}}$$

- Exemple : filtre passe-bas

$$H(p) = \frac{1}{1 + \tau \cdot p} \xrightarrow{\text{Bilinéaire}} H(z) = \frac{1}{1 + \tau \cdot \frac{2}{T_e} \cdot \frac{1 - z^{-1}}{1 + z^{-1}}} = \frac{z + 1}{z \cdot (1 + \tau \cdot \frac{2}{T_e}) + (1 - \tau \cdot \frac{2}{T_e})}$$

Exemple : filtre passe-bas Bilinéaire

- Application : Filtre passe-bas 100Hz avec $F_e=10\text{kHz}$ transformation bilinéaire

```
clear all;
close all;
clc;

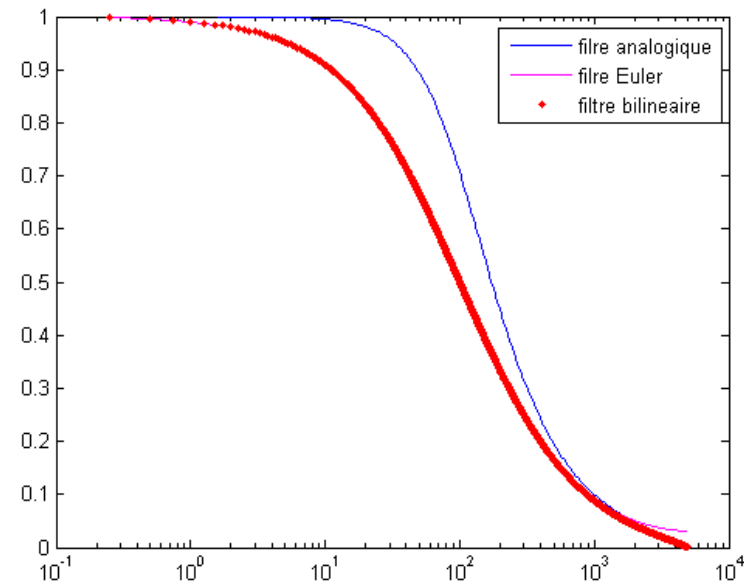
fo=100; %100Hz
fe=10000; %10kHz pour la fréquence d'Échantillonnage
Te=1/fe;

%filtre analogique
num=[1];
den=[1 2*fo*pi];
[H,W] = freqs(num,den); %Réponse fréquentielle du filtre, en Z
semilogx(W/(2*pi),abs(H)/max(abs(H))) %affichage en fréquence
hold

% filtre numérique euler
tau=2*fo*pi*j;
num_euler=[(Te*tau) 0];
denom_euler=[(Te*tau)+1 -1];
sys2=tf(num_euler, denom_euler, fe);
[H2,W2] = freqz(num_euler,denom_euler,20000); %Réponse fréquentielle du filtre, en Z
semilogx(W2/(2*pi)*fe,(abs(H2)/max(abs(H2))), 'm') %affichage en fréquence
legend('filtre analogique','filtre Euler');

% filtre numérique bilineaire
tau=2*fo*pi*j;
num_bi=[1 1];
a=1+(2/(Te*tau));
b=1-(2/(Te*tau));
denom_bi=[a b];

sys3=tf(num_bi, denom_bi, fe);
[H3,W3] = freqz(num_bi,denom_bi,20000); %Réponse fréquentielle du filtre, en Z
semilogx(W3/(2*pi)*fe,(abs(H3)/max(abs(H3))), 'r') %affichage en fréquence
legend('filtre analogique','filtre Euler','filtre bilineaire');
```



Synthèse de filtre numérique de type FIR

Énoncé du problème

- On cherche à réaliser un filtre non récursif dont la réponse impulsionnelle échantillonnée est $h(n)$

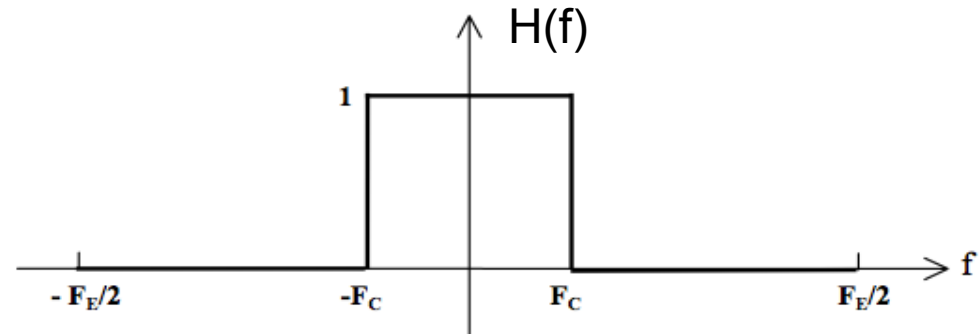
$$y(n) = \sum_{k=0}^{N-1} a_k \cdot x(n-k)$$

$$H(z) = \sum_{k=0}^{N-1} a_k \cdot z^{-k}$$

- 2 possibilités :
 - A. On a accès à la réponse impulsionnelle du filtre continu
 - Échantillonnage temporel
 - B. On a accès au gabarit fréquentiel du filtre continu
 - Échantillonnage fréquentiel

A. Echantillonnage de $h(t)$

- Gabarit souhaité de $H(f)$



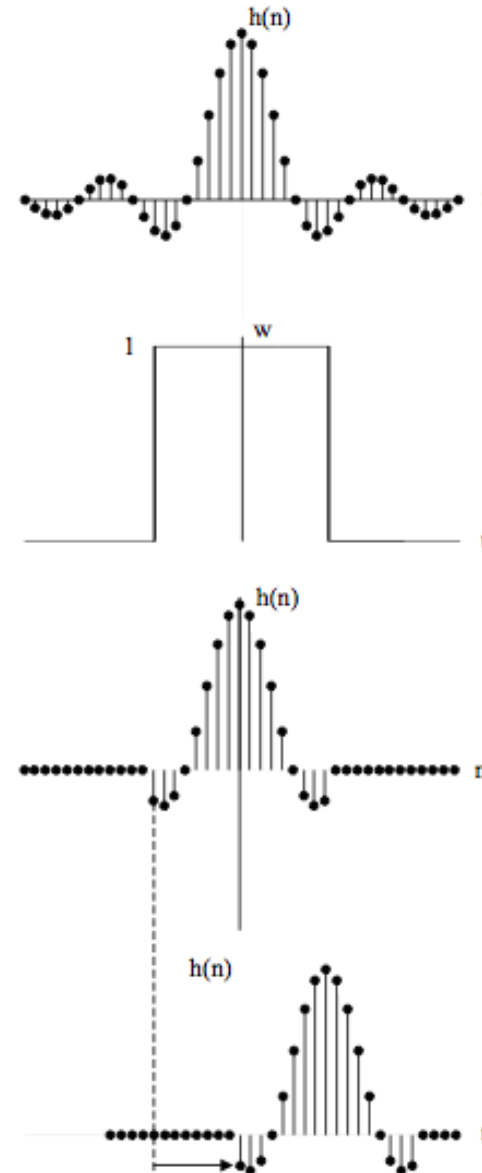
- Détermination de $h(t)$ et $h(n)$

$$h(t) = TF^{-1}(H(f)) = \int_{-F_c}^{F_c} e^{j.2.\pi.f.t} .df = 2.F_c . \frac{\sin(2.\pi.F_c.t)}{2.\pi.F_c.t}$$

$$h(n) = 2.F_c.T_e . \frac{\sin(2.\pi.F_c.n.T_e)}{2.\pi.F_c.n.T_e}$$

A. Echantillonnage de $h(t)$

- $h(n)$ est limité à un nombre fini d'échantillon
 - => effet de fenêtrage
 - On corrige par l'apodisation d'une fenêtre de correction (hamming, hann, etc.)
- $h(n)$ est généralement symétrique $h(-n)=h(n)$
- $h(n)$ est rendu causal par translation de la taille du filtre/2



Exemple : filtre FIR passe-bas

■ Filtre passe-bas 100Hz avec $F_c=10\text{kHz}$

□ $\Rightarrow F_c/F_e=0.01$

```
clear all;  
close all;  
clc;
```

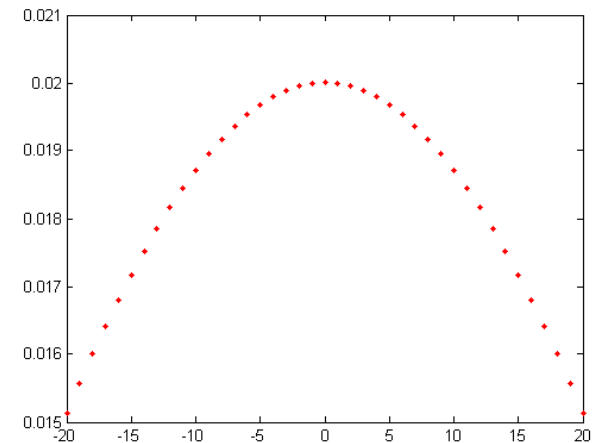
```
fo=100; %100Hz  
fe=10000; %10kHz pour la fréquence d'échantillonnage  
Te=1/fe;
```

```
%filtre analogique  
num=[1];  
den=[1 2*fo*pi];  
[H,W] = freqs(num,den); %réponse fréquentielle du filtre, en Z  
semilogx(W/(2*pi),abs(H)/max(abs(H))) %affichage en fréquence  
hold
```

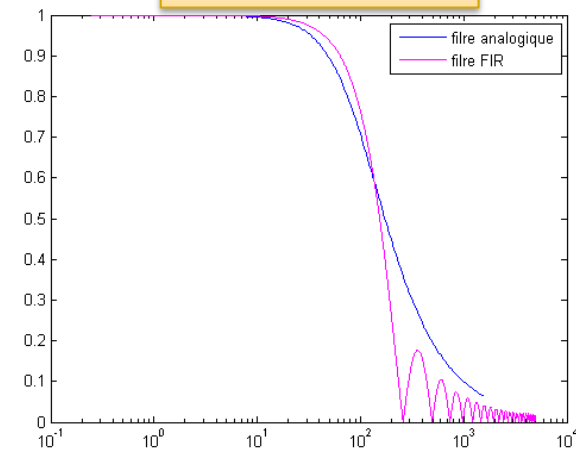
```
% filtre numérique N coefficients  
N=200;  
n=-N:1:N;  
h=2*fo*Te*sinc(2*n*fo*Te);
```

```
sys2=tf(h, 1, fe);  
[H2,W2] = freqz(h,1,20000); %réponse fréquentielle du filtre, en Z  
semilogx(W2/(2*pi)*fe,(abs(H2)/max(abs(H2))), 'm') %affichage en fréquence  
legend('filtre analogique','filtre FIR');
```

```
figure  
plot(n,h,'.r');
```



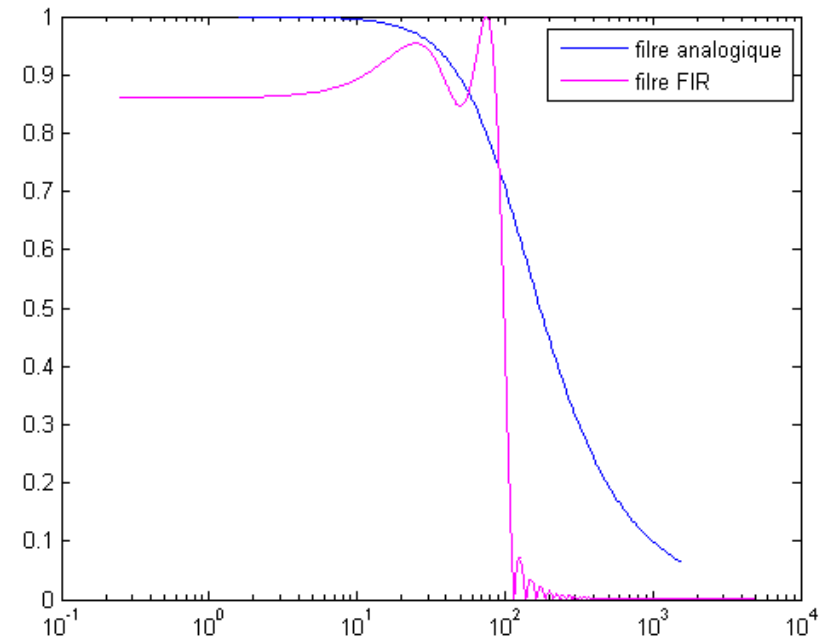
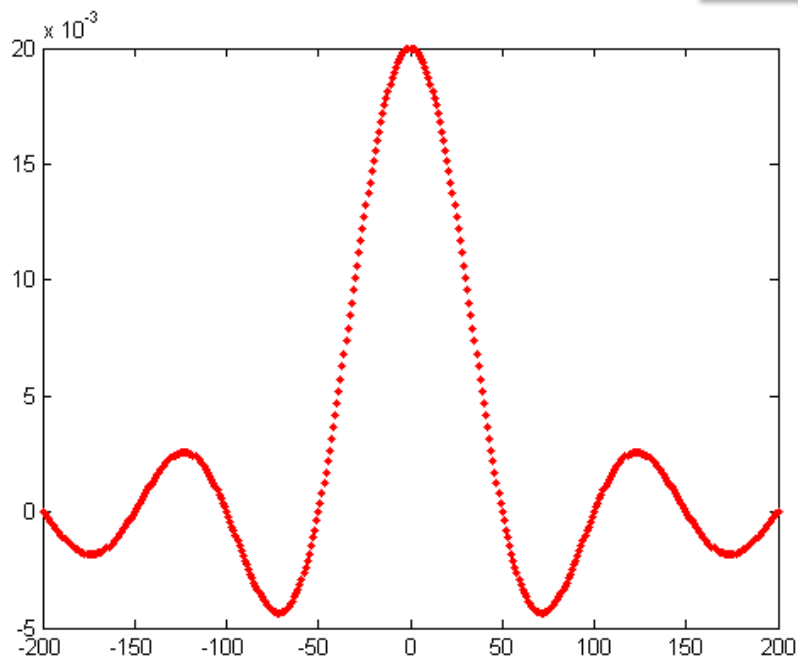
40 coefs



Exemple : filtre FIR passe-bas

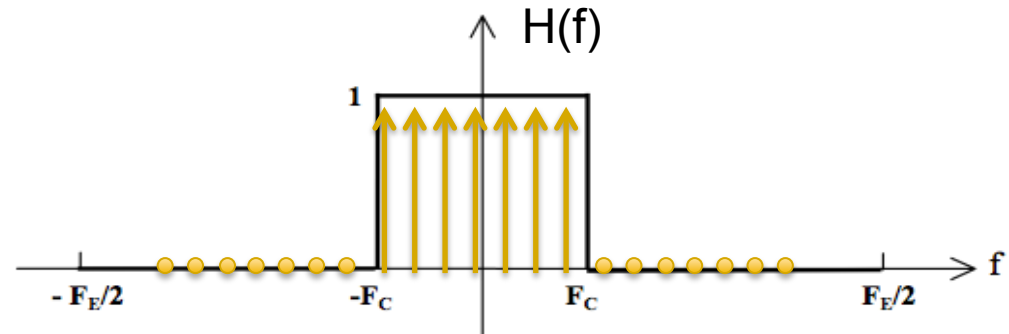
- Filtre passe-bas 100Hz avec $F_e=10\text{kHz} \Rightarrow F_c/F_e=0.01$

400 coefs



B. Echantillonnage fréquentielle $H(f)$

- Gabarit souhaité de $H(f)$



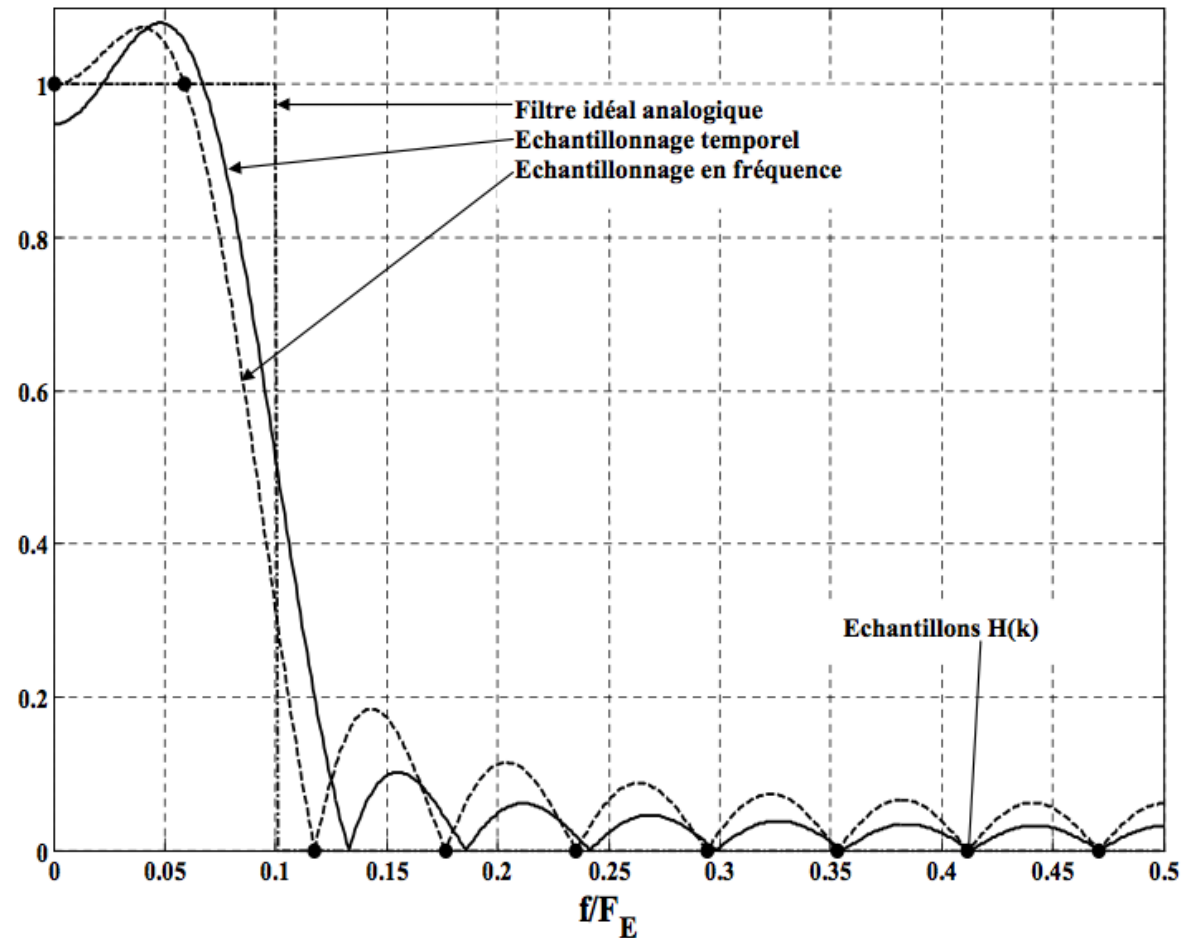
- Détermination de $H_e(t)$ et $h(n)$ par TFD^{-1}

$$h(n) = TFD^{-1}\left(H\left(\frac{k \cdot f_e}{N}\right)\right)$$

$$h(n) = \frac{1}{N} \cdot \sum_{k=-\frac{N}{2}}^{\frac{N}{2}} H(k) \cdot e^{\frac{j \cdot 2 \cdot \pi \cdot k}{N}}$$

B. Echantillonnage fréquentielle $H(f)$

■ Exemple



Partie 5

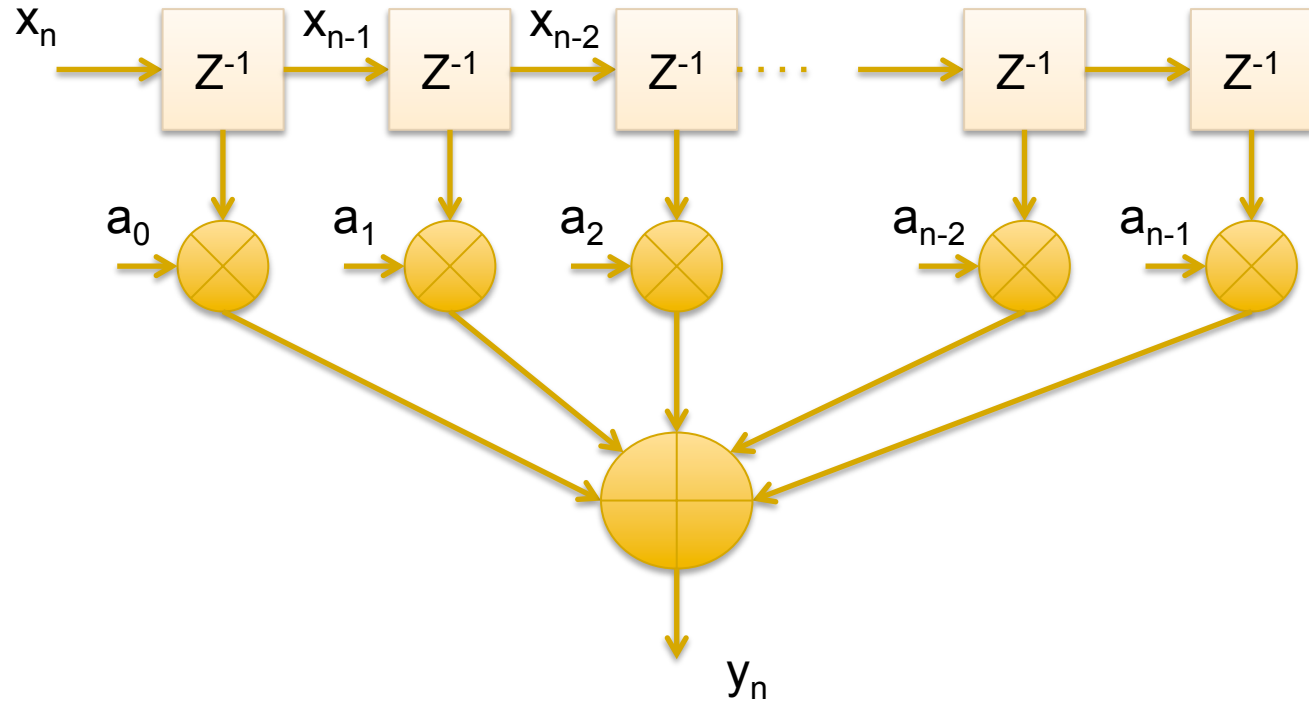
Architecture des filtres RIF et RII

Architecture des FIR

■ Equation :

$$y(n) = \sum_{k=0}^{N-1} a_k \cdot x(n-k)$$
$$H(z) = \sum_{k=0}^{N-1} a_k \cdot z^{-k}$$

■ Architecture //

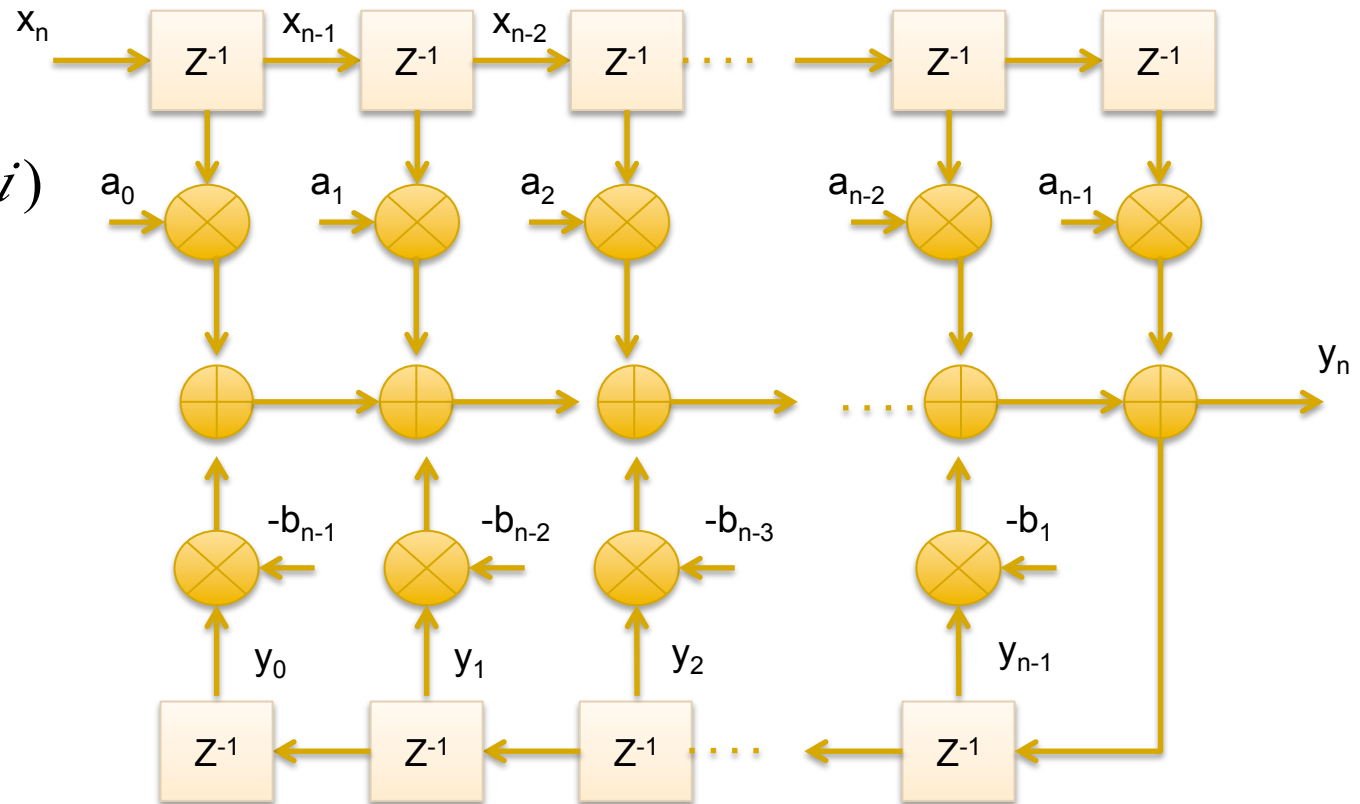


Architecture des RII

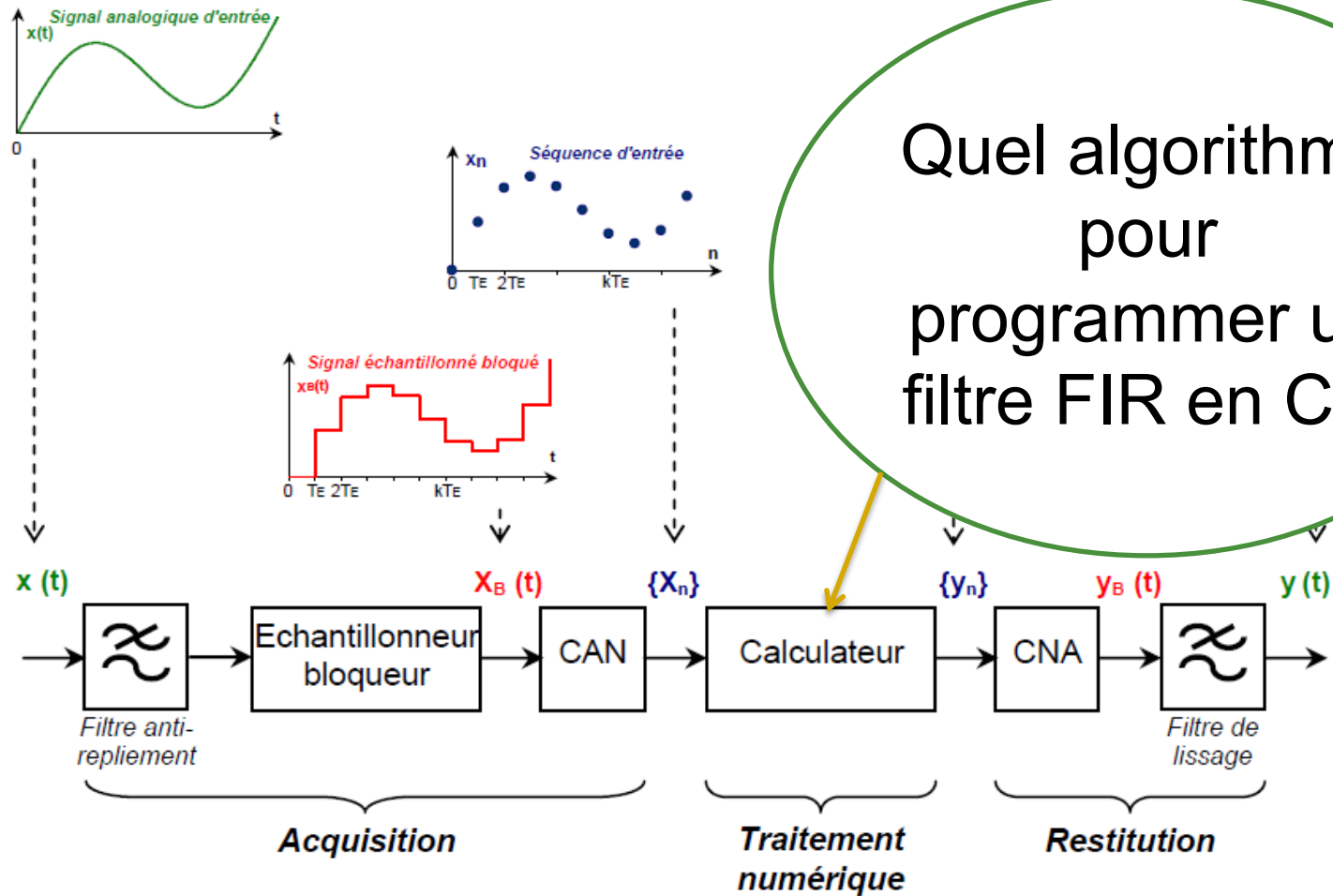
- Equation :

$$y(n) = \sum_{i=0}^{N-1} a_i x(n-i)$$

$$- \sum_{i=1}^{M-1} b_i y(n-i)$$



Algorithme filtre FIR



Algorithme filtre FIR

- Le filtrage est basé sur l'équation :
$$y(n) = \sum_{k=0}^{N-1} a_k \cdot x(n-k)$$
- L'opération de filtrage correspond à une opération de convolution temporelle
- Exemple : filtre $h(n) = \{-1; 1; 1; -1\}$

n	0	1	2	3	4	5	6	7	8	9	10	11	12	13	14	15	16	17	18	19
X(n)	0	1	2	3	2	1	0	-1	-2	-3	-2	-1	0	1	2	3	2	1	0	-1
Y(n)	0	-1	-1	0	2	-2	0	0	0	0	-2	-2	0	0	0	0	2	2	0	0

Algorithme en C filtre FIR

....

```
x_buffer[n] = nouveau_sample;  
for( n = (NB_COEF-1) ; n >= 0 ; n-- )  
    y += coef[NB_COEF-1-n] * x_buffer[n];
```

```
for( n =0 ; n< NB_COEF-1 ; n++ )  
    x_buffer[n] = x_buffer[n+1];
```

```
fprintf(stderr, "\n le data filtré est %f", y);
```

...

Algorithme filtre FIR : matlab

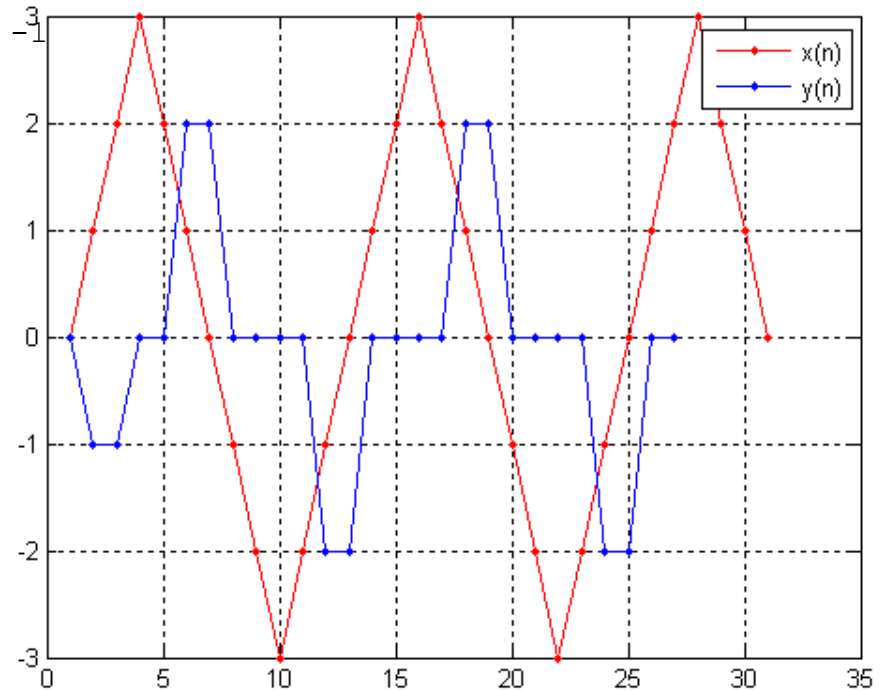
```
clear all;
close all;
clc;

%filtre analogique
x=[0 1 2 3 2 1 0 -1 -2 -3 -2 -1 0 1 2 3 2 1 0 -1
-2 -3 -2 -1 0 1 2 3 2 1 0];
h=[-1 1 1 -1];
plot(x, '.-r');
grid on
hold

%algo
n=length(x);
n_coef=length(h);

y(1)=x(1)*h(1);
y(2)=x(1)*h(2)+x(2)*h(1);
y(3)=x(1)*h(3)+x(2)*h(2)+x(3)*h(1);
y(4)=x(1)*h(4)+x(2)*h(3)+x(3)*h(2)+x(4)*h(1);

for p=n_coef+1:(n-n_coef)
    somme=0;
    for i=1:n_coef
        somme=somme+(h(i)*x(p-i));
    end
    y(p)=somme;
end
```



```
plot(y, '.-')
legend('x(n)', 'y(n)');
```



Partie 6

Outils de synthèse

Outils de synthèse Matlab

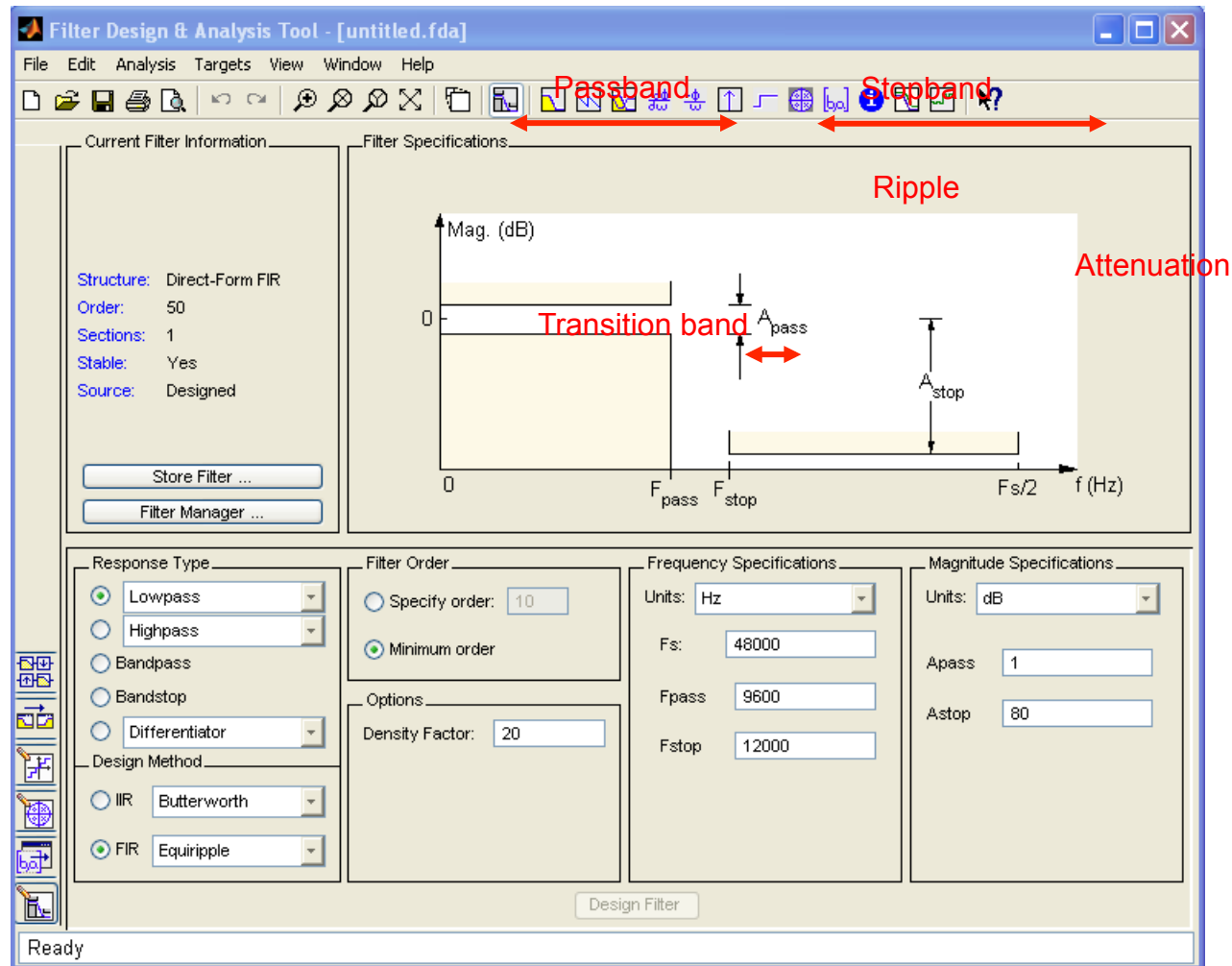
- Signal Processing Tool : SPTOOL sous Matlab
 - Analyze signals
 - Design filters
 - Analyze (view) filters
 - Filter signals
 - Analyze signal spectra

- FilterBuilder sous Matlab

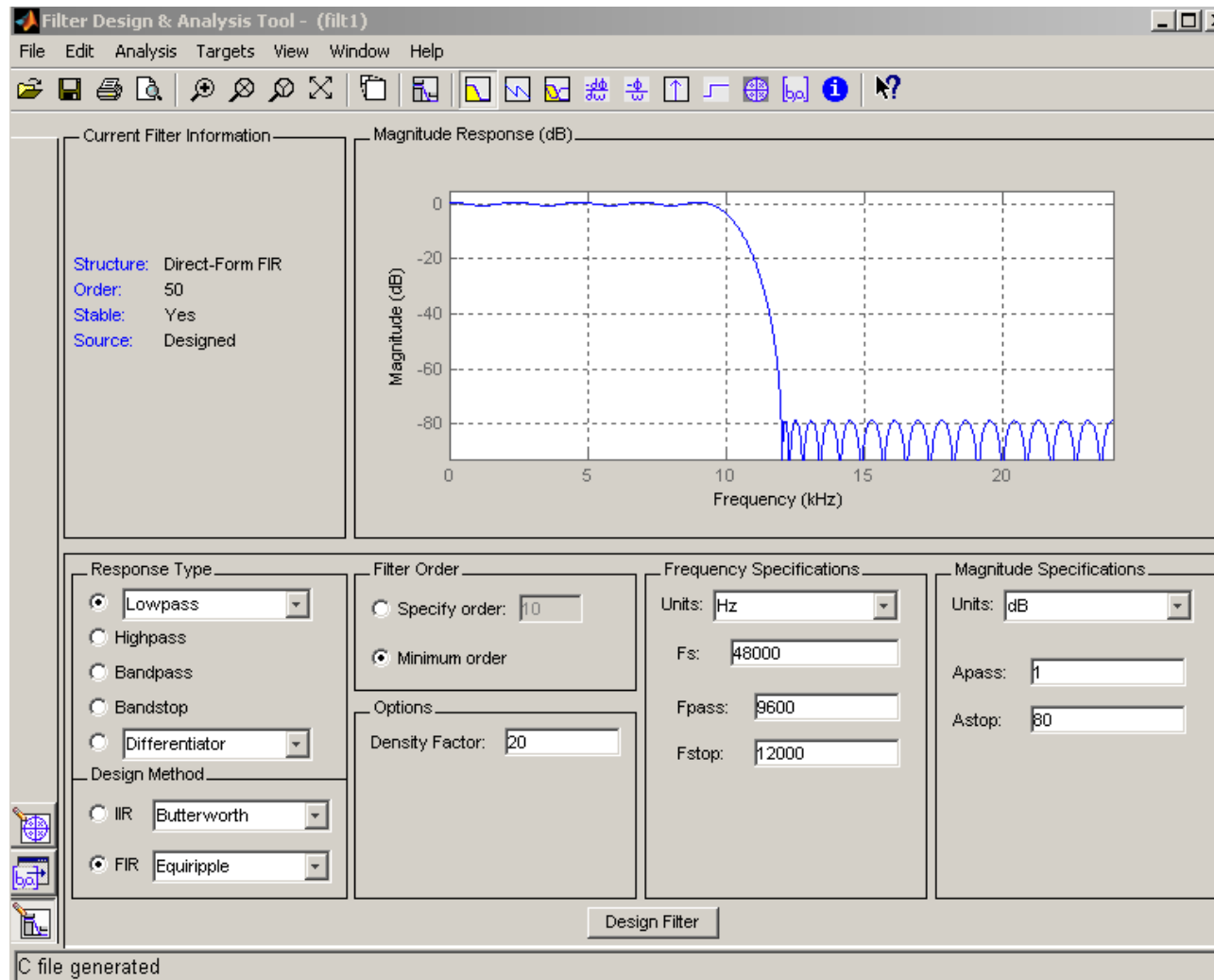
- Design filters
- Génération automatique de VHDL

Response String	Description of Resulting Filter Design
arbmag	Arbitrary magnitude and phase filter
bandpass or bp	Bandpass filter
bandstop or bs	Bandstop filter
cic	CIC filter
ciccomp	CIC compensator
diff	Differentiator filter
fracdelay	Fractional delay filter
halfband or hb	Halfband filter
highpass or hp	Highpass filter
hilb	Hilbert filter
isinc1p	Inverse sinc lowpass filter
lowpass or lp	Lowpass filter (default)
notch	Notch filter
nyquist	Nyquist filter
octave	Octave filter
parameq	Parametric equalizer filter
peak	Peak filter
pulseshaping	Pulse-shaping filter

Signal Processing Tool



Signal Processing Tool



Signal Processing Tool

- Génération de fichier header de coefficients

```
* Filter Coefficients (C Source) generated by the Filter Design and Analysis Tool
*
* Generated by MATLAB(R) 7.8 and the Signal Processing Toolbox 6.11.
*
* Generated on: 22-Jan-2013 16:14:40
*
*/

/*
* Discrete-Time FIR Filter (real)
* -----
* Filter Structure : Direct-Form FIR
* Filter Length   : 51
* Stable          : Yes
* Linear Phase    : Yes (Type 1)
*/

/* General type conversion for MATLAB generated C-code */
#include "tmwtypes.h"
/*
* Expected path to tmwtypes.h
* C:\Program Files\MATLAB\R2009a\extern\include\tmwtypes.h
*/
const int BL = 51;
const real64_T B[51] = {
-0.0009190982084683,-0.002717696026596,-0.002486952759832, 0.003661438383507,
 0.01365092523066, 0.01735116590109, 0.007665306190422,-0.006554718869642,
-0.007696784037065, 0.006105459421394, 0.01387391574864,0.0003508617282909,
-0.01690892543669,-0.008905642749159, 0.01744112950085, 0.02074504452761,
-0.01229649425194, -0.03424086590958,-0.001034529605572, 0.0477903055208,
 0.02736303791485, -0.05937951883105, -0.08230702592923, 0.06718690943287,
 0.3100151770903, 0.4300478803435, 0.3100151770903, 0.06718690943287,
-0.08230702592923, -0.05937951883105, 0.02736303791485, 0.0477903055208,
-0.001034529605572, -0.03424086590958, -0.01229649425194, 0.02074504452761,
 0.01744112950085,-0.008905642749159, -0.01690892543669,0.0003508617282909,
 0.01387391574864, 0.006105459421394,-0.007696784037065,-0.006554718869642,
 0.007665306190422, 0.01735116590109, 0.01365092523066, 0.003661438383507,
-0.002486952759832,-0.002717696026596,-0.0009190982084683
};
```

FilterBuilder

The image shows a dialog box titled "Lowpass Design" with a close button (X) in the top right corner. The dialog is divided into several sections:

- Lowpass Design**: A header section with the text "Design a lowpass filter."
- Save variable as:** A text input field containing "Hlp" and a "View Filter Response" button to its right.
- Filter specifications**: A section with three dropdown menus: "Impulse response:" set to "FIR", "Order mode:" set to "Minimum", and "Filter type:" set to "Single-rate". An "Order:" text input field is to the right of the "Order mode:" dropdown.
- Frequency specifications**: A section with "Frequency units:" set to "Normalized (0 to 1)", "Input Fs:" set to "2", "Fpass:" set to ".45", and "Fstop:" set to ".55".
- Magnitude specifications**: A section with "Magnitude units:" set to "dB", "Apass:" set to "1", and "Astop:" set to "60".
- Algorithm**: A section with "Design method:" set to "Equiripple" and "Structure:" set to "Direct-form FIR".

At the bottom of the dialog are four buttons: "OK", "Cancel", "Help", and "Apply".

FilterBuilder : HDL generation

Generate HDL (Direct-Form FIR, order = 42)

Filter settings

Filter target language: VHDL

Name: Hlp

Target directory: hdlsrc

Architecture: Fully parallel Coefficient source: Internal

Coefficient multipliers: Multiplier

Add pipeline registers

FIR adder style: Linear

Reset type: Asynchronous Optimize for HDL

Reset asserted level: Active-high

Clock inputs: Single

Test bench settings

Name: Hlp_tb

VHDL file Impulse response

Verilog file Step response

Cosimulation model Ramp response

Type: EDA Simulator Link MQ Chirp response

White noise response

User defined response

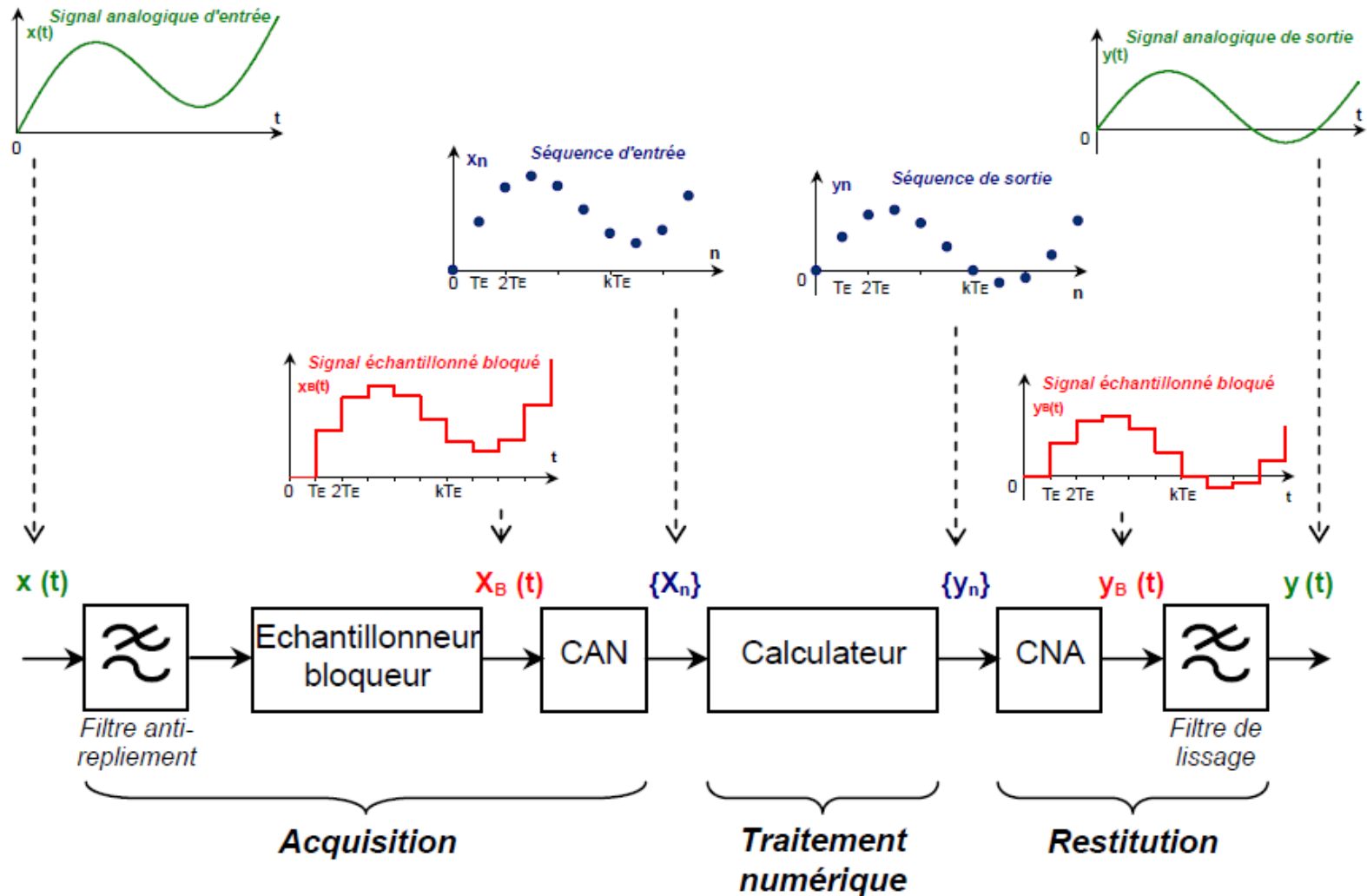
Script settings

Generate M-file

O. Romain et A. Histace

Conclusion

Structure TNS



Structure TNS

